

UMA APLICAÇÃO DE SIMETRIZADORES  
PARA O PROBLEMA DE AUTOVALORES

HELOÍSA GUEDES DE ALCÂNTARA

ORIENTADOR

JOSÉ VITÓRIO ZAGO

Dissertação apresentada no Instituto de Matemática, Estatística e Ciência da Computação, UNICAMP, como requisito parcial para obtenção do título de Mestre em Matemática Aplicada.

Julho 1980.

Aos meus pais

AGRADECIMENTOS:

Ao professor Dr. JOSÉ VITÓRIO ZAGO, pela orientação e esclarecimentos dados durante a pesquisa.

Ao professor Dr. BISWA NATH DATTA, pelo incentivo e entusiasmo demonstrados em todo desenvolvimento deste trabalho.

Aos professores do IMECC, pela orientação durante o curso de pós-graduação.

À VALÉRIA DE PODESTÁ GOMES, pelos ensinamentos computacionais.

Aos colegas e funcionários, pela atenção dispensada e convivência diária agradável.

Aos amigos, por terem tornado gratificante minha estada em Campinas.

À minha família, pela compreensão e apoio durante todos os momentos.

Ao ÁLVARO JOSÉ DAMIÃO, pelos favores prestados.

À VERA MARIA DE QUEIROZ MOURA, pela datilografia do texto.

Aos professores da FAFI de Sorocaba, pelo alicerce matemático que contribuiu para a realização deste trabalho.

À CAPES, pela bolsa de estudos concedida para o desenvolvimento desta pesquisa.

## SUMÁRIO

Este trabalho tem por finalidade determinar os autovalores reais e distintos de uma matriz companheira real.

No Capítulo zero, são dadas as definições e notações usadas durante o trabalho.

No Capítulo 1, é proposto um novo método, usando-se simetrizaradores.

No Capítulo 2, é descrito o método QR, com perturbação na matriz original.

Finalmente, no Capítulo 3, é feita a comparação entre os dois métodos e são apresentados os resultados dos testes computacionais.

No Apêndice, constam as listagens dos algoritmos programados.

SUMMARY

The scope of this work is to compute the distinct and real eigenvalues of a companion real matrix.

First the definitions and notations used in the work are given.

In the 1<sup>st</sup> chapter a new method that uses symmetrizers is suggested.

In the 2<sup>nd</sup> chapter the QR method with shift in the original matrix is described.

Finally in the 3<sup>rd</sup> chapter the comparison between the two methods is done and the result of computational tests are presented, too.

The appendix contains the listing of the programs of the algorithms.

ÍNDICE

	<u>Página</u>
Capítulo 0: Notações e definições .....	1
Capítulo 1: Método proposto .....	6
1.1. Introdução .....	6
1.2. Matrizes de Hankel .....	7
1.3. Algoritmos usados: .....	15
1.3.1. Construção da matriz Hankel .....	15
1.3.2. Construção da matriz A .....	17
1.3.3. Redução de $Ax=\lambda Bx$ para $Ez=\lambda z$ .....	18
1.3.4. Método de Householder .....	29
1.3.5. Variação racional do QL .....	23
1.4. Diagrama de blocos .....	29
1.5. Aplicação .....	30
Capítulo 2: Método QR .....	35
2.1. Introdução .....	35
2.2. Algoritmos usados .....	35
2.2.1. Balanceamento de uma matriz .....	35
2.2.2. Método QR para matrizes reais de Hessenberg .....	40
2.3. Diagrama de blocos .....	49
2.4. Aplicação .....	50
Capítulo 3: Comparação .....	63
3.1. Experiência computacional .....	63

	<u>Página</u>
3.2. Conclusão .....	65
Capítulo 4: Apêndice (Listagens) .....	66
4.1. HANKEL .....	66
4.2. PRODUT .....	67
4.3. REDUZ .....	68
4.4. HOUSE .....	70
4.5. QLMUD .....	72
4.6. DATTA .....	75
4.7. BALANC .....	76
4.8. HQR .....	79
4.9. QR .....	83
Referências .....	84

CAPÍTULO 0

NOTAÇÕES E DEFINIÇÕES:

O problema algébrico fundamental de autovalores está na determinação dos valores de  $\lambda$  para os quais o conjunto de  $n$  equações lineares homogêneas de  $n$  incógnitas

$$Ax = \lambda x \quad (1)$$

tem uma solução não-trivial. A equação (1) pode ser escrita na forma

$$(A - \lambda I)x = 0$$

e para  $\lambda$  arbitrário, este conjunto de equações tem apenas a solução  $x = 0$ . Dizemos que existe solução não-trivial se e somente se a matriz  $(A - \lambda I)$  é singular, isto é,

$$\det(A - \lambda I) = 0.$$

Desenvolvendo o determinante, teremos a equação polinomial explícita

$$\alpha_0 + \alpha_1 \lambda + \dots + \alpha_{n-1} \lambda^{n-1} + (-1)^n \lambda^n = 0. \quad (2)$$

Definição 1: Chamamos de equação característica da matriz  $A$  a equação (2) e de polinômio característico, o polinômio à esquerda da igualdade.



Definição 2: As raízes  $\lambda$  da equação (2) são chamadas de autovalores da matriz A.

Definição 3: Uma solução simétrica X da equação matricial  $XS = S^tX$  é dita simetrizadora de S, e a matriz S é dita simetrizável nesse caso.

Definição 4: Chamamos de matriz companheira do polinômio característico de A, a matriz:

$$C = \begin{bmatrix} 0 & 1 & 0 & \dots & 0 \\ 0 & 0 & 1 & \dots & 0 \\ \vdots & \vdots & \vdots & & \vdots \\ 0 & 0 & 0 & \dots & 1 \\ c_1 & c_2 & c_3 & \dots & c_n \end{bmatrix}$$

cuja equação característica:

$$(-1)^n [\lambda^n - c_n \lambda^{n-1} - c_{n-1} \lambda^{n-2} - \dots - c_1] = 0 ,$$

é idêntica à equação característica de A.

Definição 5: Definimos forma quadrática  $x^tAx$ , de n variáveis  $x_1, x_2, \dots, x_n$ , associada à matriz simétrica real A por:

$$x^tAx = \sum_{i,j=1}^n a_{ij}x_i x_j$$

onde  $x$  é o vetor com componentes  $x_i$ .

Definição 6: Uma forma quadrática com a matriz  $A$  é definida:

$$\left. \begin{array}{l} \text{positiva definida} \\ \text{negativa definida} \\ \text{positiva semi definida} \\ \text{negativa semi definida} \end{array} \right\} \text{de acordo com } x^t Ax \left\{ \begin{array}{l} > 0 \\ < 0 \\ \geq 0 \\ \leq 0 \end{array} \right. , \text{ para todo } x \neq 0.$$

Definição 7: A matriz  $A$  de uma forma quadrática positiva - (negativa) definida  $x^t Ax$  é chamada uma matriz positiva (negativa) definida.

Definição 8: Uma forma quadrática  $x^t Ax$  é positiva definida se - e somente se - todos os autovalores de  $A$  são positivos.

Definição 9: Dizemos que as matrizes quadradas  $A$  e  $B$  são similares, quando existe uma matriz  $T$  não-singular tal que  $TAT^{-1}=B$ . A transformação  $TAT^{-1}$  é chamada transformação de similaridade.

Definição 10: Uma matriz é dita não-derrogatória, quando - ela é similar à matriz companheira de seu polinômio característico.

Definição 11: As matrizes:

$$L = \begin{bmatrix} l_{11} & & & \\ & l_{22} & & \\ & & \ddots & \\ & & & l_{nn} \end{bmatrix} \quad U = \begin{bmatrix} u_{11} & u_{12} & \dots & u_{1n} \\ & \ddots & & \\ & & \ddots & \\ & & & u_{nn} \end{bmatrix}$$

são chamadas respectivamente, triangular inferior e triangular superior.

Definição 12: A matriz:

$$T = \begin{bmatrix} t_{11} & t_{12} & & \\ & t_{22} & & \\ & & \ddots & \\ & & & t_{n-1,n} \\ & & & & t_{nn} \end{bmatrix}$$

é chamada matriz tridiagonal.

Definição 13: A matriz:

$$V = \begin{bmatrix} 1 & 1 & \dots & 1 \\ \lambda_1 & \lambda_2 & \dots & \lambda_n \\ \lambda_1^2 & \lambda_2^2 & \dots & \lambda_n^2 \\ \vdots & \vdots & & \vdots \\ \lambda_1^{n-1} & \lambda_2^{n-1} & \dots & \lambda_n^{n-1} \end{bmatrix}$$

é dita matriz de Vandermonde.

Definição 14: A matriz:

$$D = \text{dg}(d_{11}, d_{22}, \dots, d_{nn}) = \begin{bmatrix} d_{11} & & & & \\ & & & & \end{bmatrix}$$

é chamada matriz diagonal.

Definição 15: As matrizes:

$$A = \begin{bmatrix} a_{11} & a_{12} & \dots & a_{1n} \\ a_{21} & a_{22} & \dots & a_{2n} \\ & a_{32} & \dots & a_{3n} \\ & & \ddots & \vdots \\ & & & a_{n,n-1} \\ & & & a_{nn} \end{bmatrix} \quad e \quad B = \begin{bmatrix} b_{11} & b_{12} & & & \\ b_{21} & b_{22} & & & \\ & & & & \\ & & & & \\ & & & & \\ & & & & \\ & & & & \\ & & & & \\ & & & & \\ & & & & \\ & & & & \\ & & & & \\ & & & & \\ & & & & \\ & & & & \\ & & & & \\ & & & & \\ & & & & \\ & & & & \\ & & & & \\ & & & & \end{bmatrix}$$

são chamadas respectivamente, de Hessenberg superior e inferior.

Definição 16: A matriz real  $P$  é dita ortogonal se - e somente se  $P = P^t = P^{-1}$ .

Notações:

$I$  - Matriz identidade;

$[0]$  - Matriz nula;

$A^t$  - Transposta da matriz  $A$ ;

$A^{-1}$  - Inversa da matriz  $A$ ;

$\text{tr}(C)$  - Traço da matriz  $C$

$L_1(x) = ||x||_1 = |x_1| + |x_2| + \dots + |x_n|$ , para  $x \in R^n$

CAPÍTULO 1

MÉTODO PROPOSTO:

1.1. Introdução:

Seja a equação matricial:

$$Cx = \lambda x \quad (3)$$

onde  $C$  é uma matriz companheira real e  $x$  um vetor coluna.

Tomando a simetrizadora  $X$  de  $C$  e premultiplicando em (3), teremos:

$$XCx = \lambda Xx.$$

Chamando  $A = XC$  e  $B = X$ , então,

$$Ax = \lambda Bx \quad (4)$$

onde  $A$  e  $B$  são matrizes simétricas reais.

Quando  $B$  é uma matriz positiva definida, o problema  $Ax = \lambda Bx$  pode ser reduzido ao problema simétrico padrão  $Ez = \lambda z$ , onde  $E$  é uma matriz simétrica, usando-se a fatorização de Cholesky em  $B$ , da seguinte maneira [ 3,4 ]:

Se  $L$  é uma matriz triangular inferior tal que  $LL^t = B$ , então, podemos escrever a equação (4) como:

$$\begin{aligned} Ax &= \lambda L L^t x \quad \text{ou} \\ L^{-1} Ax &= \lambda L^t x \quad \text{ou ainda} \\ L^{-1} A (L^t)^{-1} L^t x &= \lambda L^t x. \end{aligned}$$

Chamando  $E = L^{-1} A (L^t)^{-1}$  e  $z = L^t x$  temos finalmente

$$Ez = \lambda z.$$

Logo  $E$  é uma matriz conhecida, real e simétrica.

Podemos, então, computar os autovalores  $\lambda$  de  $E$ , que correspondem àqueles dados pela equação (3). O caminho indicado pelo "Eispack Guide" [ 5, 6 ] é aquele em que usamos a combinação do método de Householder que transforma  $E$  numa matriz tridiagonal  $T$ , e, de uma variação racional do QL, que computa os autovalores de  $T$ .

A dificuldade que esse método poderia apresentar, seria na construção da matriz simetrizadora  $X$ , de forma que ela fosse positiva definida. Tal problema é evitado, usando-se as matrizes de Hankel, que são definidas por relações recursivas simples.

## 1.2. Matrizes de Hankel:

Seja  $f(x) = x^n - c_n x^{n-1} - c_{n-1} x^{n-2} \dots - c_2 x - c_1$ , um polinômio real de grau  $n$  e seja  $C$  a matriz companheira de  $f(x)$ . Então, a matriz:

$$H = \begin{bmatrix} S_0 & S_1 & \dots & S_{n-1} \\ S_1 & S_2 & \dots & S_n \\ \vdots & \vdots & & \vdots \\ S_{n-1} & S_n & \dots & S_{2n-2} \end{bmatrix} \quad (5)$$

onde  $S_i = \text{tr}(C^i)$  (Somadas de Newton) é chamada de matriz Hankel - das somas de Newton, associada a  $f(x)$ .

Para mostrarmos que a construção de  $H$  é fácil, usaremos um outro tipo de matriz Hankel [ 2 ], que num caso particular, é igual à matriz Hankel das somas de Newton, com a vantagem de ter relações simples, definindo-a.

Sejam:

$$f(x) = c_{n+1}x^n - c_n x^{n-1} - c_{n-1} x^{n-2} \dots - c_2 x - c_1, \quad (6)$$

$$(c_{n+1} = 1)$$

e

$$g(x) = b_{m+1}x^m - b_m x^{m-1} - b_{m-1} x^{m-2} \dots - b_2 x - b_1, \quad (7)$$

dois polinômios de grau  $n$  e  $m$ , com coeficientes reais;  $m \leq n$ . Então, as quantidades  $s_i$ ,  $i = -1, 0, 1, 2, \dots$ , definidas por:

$$\frac{g(x)}{f(x)} = s_{-1} + \frac{s_0}{x} + \frac{s_1}{x^2} + \frac{s_2}{x^3} + \dots \quad (8)$$

são chamadas parâmetros de Markov associados à função racional  $R(x) = g(x) / f(x)$ ; e as matrizes:

$$H_{kK} = \begin{bmatrix} s_0 & s_1 & \dots & s_{k-1} \\ s_1 & s_2 & \dots & s_k \\ \vdots & \vdots & & \vdots \\ s_{k-1} & s_k & \dots & s_{2k-2} \end{bmatrix}, \quad (k = 1, 2, \dots, n)$$

são as matrizes de Hankel, associadas aos parâmetros de Markov.

Existem relações recursivas simples para a geração dos coeficientes das matrizes de Hankel. Para o caso  $n = m$ , em (8), se livrarmos do denominador e equipararmos as potências de  $x$  em ambos os lados da equação, obteremos:

$$\begin{aligned} s_{-1} &= b_{n+1} \\ s_0 - c_n s_{-1} &= -b_n \\ s_1 - c_n s_0 - c_{n-1} s_{-1} &= -b_{n-1} \\ &\vdots \\ s_{n-1} - c_n s_{n-2} - \dots - c_1 s_{-1} &= -b_1 \\ s_t - c_n s_{t-1} - \dots - c_1 s_{t-n} &= 0 \quad (t = n, n+1, \dots, 2n-2). \end{aligned}$$

Agora, se  $g(x) = f'(x)$ , onde  $f'(x)$  é a primeira derivada de  $f(x)$ , temos:



$$\begin{aligned}
 s_{-1} &= 0 \\
 s_0 &= n \\
 s_1 - c_n s_0 &= -(n-1) c_n \\
 s_2 - c_n s_1 - c_{n-1} s_0 &= -(n-2) c_{n-1} \\
 &\vdots \\
 s_{n-1} - c_n s_{n-2} \dots - c_2 s_0 &= -c_2 \\
 s_t - c_n s_{t-1} \dots - c_1 s_{t-n} &= 0 \quad (t = n, n+1, \dots, 2n-2)
 \end{aligned}$$

ou ainda:

$$\left. \begin{aligned}
 s_0 &= n = \text{tr}(C^0) \\
 s_1 &= c_n = \text{tr}(C^1) \\
 s_2 &= c_n^2 + 2 c_{n-1} = \text{tr}(C^2) \\
 s_3 &= c_n^3 + 3 c_n c_{n-1} + 3 c_{n-2} = \text{tr}(C^3) \\
 &\vdots \\
 &\text{etc.}
 \end{aligned} \right\} \quad (9)$$

A relação (9) estabelece o fato da matriz Hankel das somas de Newton ser justamente igual à matriz Hankel dos parâmetros de Markov.

Em [ 1, p. 611 ] é estabelecido o seguinte lema, que forma uma parte da demonstração do nosso resultado:

Lema 1: A matriz Hankel H definida por (5) é tal que:

$$CH = HC^t \quad (10)$$

onde C é a matriz companheira de f(x).

Demonstração: Seja:

$$C = \begin{bmatrix} 0 & 1 & 0 & \dots\dots\dots & 0 \\ 0 & 0 & 1 & 0 & \dots & 0 \\ \vdots & \vdots & \vdots & & & \vdots \\ \vdots & \vdots & \vdots & & & 1 \\ c_1 & c_2 & c_3 & \dots\dots\dots & c_n \end{bmatrix}$$

Considere-se agora, a equação matricial:

$$CX = XC^t. \tag{11}$$

Desde que C seja não-derrogatória, pelo resultado de Taussky e Zassenhaus [ 13 ], toda solução X de (11) é simétrica. Sejam  $x_1, x_2, \dots, x_n$  as n linhas da matriz X. Então, a equação matricial (11) é equivalente a:

$$x_i = x_{i-1} C^t, \quad i = 2, 3, \dots, n$$

$$c_1 x_1 + c_2 x_2 + \dots + c_n x_n = x_n C^t.$$

Eliminando-se  $x_2, x_3, \dots, x_n$ , obteremos:

$$x_1 f(C) = [0].$$

Desde que, pelo teorema de Cayley-Hamilton [3,p.38-39],  $f(C) = [0]$ ,  $x_1$  pode ser escolhido arbitrariamente. Assim, as linhas  $x_1, x_2, \dots, x_n$  da solução simétrica X da equação matri -

cial (11) são tais que:

$x_1$  pode ser escolhida arbitrariamente

$x_2, \dots, x_n$  satisfazem às relações recursivas

$$x_i = x_{i-1} C^t, \quad i = 2, 3, \dots, n.$$

Sejam  $h_1, h_2, \dots, h_n$  as  $n$  linhas da matriz  $H$ .

Então, das conhecidas identidades de Newton [14,p.39] ,

$$s_i = c_n s_{i-1} + c_{n-1} s_{i-2} + \dots + c_2 s_1 + c_1 s_0, \quad i = 1, 2, \dots, n$$

$$s_i = c_n s_{i-1} + c_{n-1} s_{i-2} + \dots + c_2 s_{i-n+1} + c_1 s_{i-n}, \quad (i > n)$$

é fácil ver-se que:

$$h_i = h_{i-1} C^t, \quad i = 2, 3, \dots, n.$$

Assim, da segunda até a  $n$ -ésima linha de  $H$ , são satisfeitas as mesmas relações recursivas de  $X$  dadas em (11). Desde que  $x_1$  é arbitrária e, em particular, pode ser tomada como a primeira linha  $h_1$  de  $H$ , o lema é provado.

Logo,  $H$  é uma simetrizadora de  $C^t$ , e, ao invés de trabalharmos com a matriz companheira  $C$  em (3), trabalharemos com a sua transposta  $C^t$ , que tem os mesmos autovalores [3, p. 3] .

Mostraremos, agora, que a matriz Hankel das somas de Newton  $H$  (5) é positiva definida, se - e somente se - os autovalores de  $C$  são reais e distintos.

A demonstraçãõ È dada, seguindo o artigo de Datta [ 2 ] :

Sejam  $\lambda_1, \lambda_2, \dots, \lambda_n$  as raizes de  $f(x)$ . Entãõ, de (9) temos:

$$\begin{aligned} s_0 &= n = \sum_{i=1}^n \lambda_i^0 \\ s_1 &= c_n = \sum_{i=1}^n \lambda_i^1 \\ s_2 &= c_n^2 + 2 c_{n-1} = \sum_{i=1}^n \lambda_i^2 \\ &\vdots \\ &\text{etc.} \end{aligned}$$

A matriz  $H_{nn}$  portanto, pode ser escrita da forma:

$$H_{nn} = VV^t$$

onde  $V$  È a matriz de Vandermonde e a linha  $i$  de  $V$  È:

$$(\lambda_1^i, \lambda_2^i, \dots, \lambda_n^i), \quad 0 \leq i \leq n-1.$$

Se os  $\lambda_i$  sãõ distintos e reais, a matriz de Vandermonde  $V$  È não-singular; portanto,  $H_{nn}$  È positiva definida.

Suponhamos, agora, que  $H_{nn}$  È positiva definida. Entãõ, poderemos escrever a equaçãõ  $CH_{nn} = H_{nn}C^t$  da forma:

$$H_{nn}^{-1/2} C H_{nn}^{1/2} = H_{nn}^{1/2} C^t H_{nn}^{-1/2}.$$

Se:

$$P = H_{nn}^{-1/2} C H_{nn}^{1/2}$$

então,

$$P^t = H_{nn}^{1/2} C^t H_{nn}^{-1/2} = H_{nn}^{-1/2} C H_{nn}^{1/2} = P .$$

Portanto, P é simétrica. Também:

$$C = H_{nn}^{1/2} P H_{nn}^{-1/2}$$

é similar a P.

Desde que C é similar à matriz simétrica P, os autovalores de C são todos reais. Novamente, a não-singularidade de  $H_{nn}$  implica que a matriz de Vandermonde V é não-singular e portanto, os  $\lambda_i$  são distintos.

Assim, com a obtenção da matriz Hankel positiva definida e simetrizadora de C, o método proposto fica completo.

Observação: É interessante observar que, além de usarmos a matriz Hankel das somas de Newton para computar os autovalores reais e distintos de C, como descrevemos acima, poderemos usar essa matriz para obter informações sobre a localização dos autovalores de C, sem os mesmos serem computados. Pelo teorema 3 de [ 1 ] temos que os autovalores de C são distintos e reais negativos (positivos) se - e somente se - H é positiva definida e CH é negativa (positiva) definida.

1.3. Algoritmos usados:

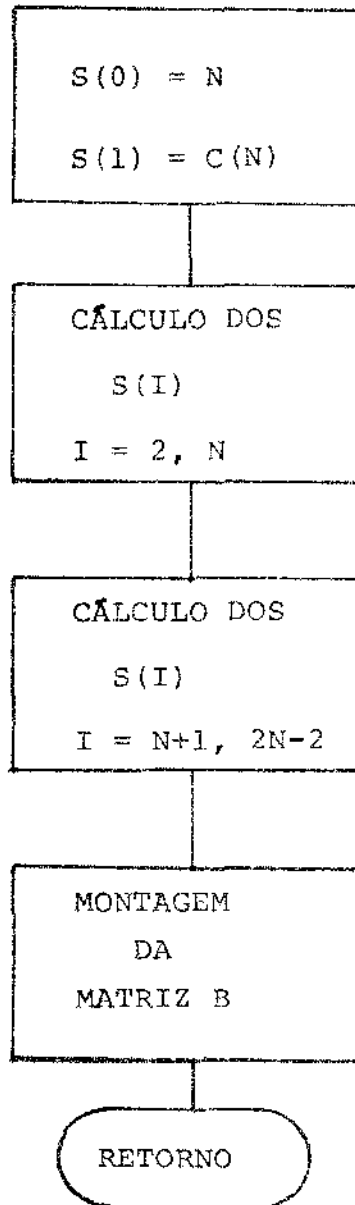
1.3.1. Construção da matriz Hankel:

Esse algoritmo constrói a matriz Hankel das somas de Newton (5).

Os  $s_i$  são calculados recursivamente por:

$$\begin{aligned} s_0 &= n \\ s_1 &= c_n \\ s_2 &= c_n s_1 + 2 c_{n-1} \\ s_3 &= c_n s_2 + c_{n-1} s_1 + 3 c_{n-2} \\ &\vdots \\ s_{n-1} &= c_n s_{n-2} + c_{n-1} s_{n-3} + \dots + c_3 s_1 + (n-1) c_2 \\ s_n &= c_n s_{n-1} + c_{n-1} s_{n-2} + \dots + c_2 s_1 + n c_1 \\ s_{n+1} &= c_n s_n + c_{n-1} s_{n-1} + \dots + c_2 s_2 + c_1 s_1 \\ &\vdots \\ s_{2n+2} &= c_n s_{2n+1} + c_{n-1} s_{2n} + \dots + c_2 s_{n+1} + c_1 s_n \end{aligned}$$

DIAGRAMA DE BLOCOS:



1.3.2. Construção da matriz A:

Esse algoritmo constrói a matriz A do problema simétrico generalizado  $Ax = \lambda Bx$ .

Essa matriz será real e simétrica; resultado do produto da matriz Hankel das somas de Newton H (5) pela transposta da matriz companheira C.

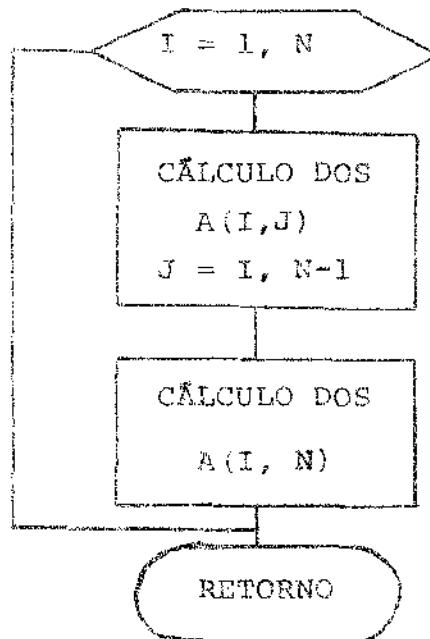
Os  $a_{ij}$  são calculados recursivamente por:

Para  $i = 1, \dots, n$  temos:

$$(i) \quad a_{ij} = b_{i,j+1}, \quad j = i, \dots, n-1$$

$$(ii) \quad a_{in} = \sum_{k=1}^i b_k c_k + \sum_{k=i+1}^n a_{i,k-1} c_k$$

DIAGRAMA DE BLOCOS:





1.3.3. Redução de  $Ax = \lambda Bx$  para  $Ez = \lambda x$ :

Esse algoritmo reduz o problema de autovalores  $Ax = \lambda Bx$  ao problema simétrico padrão  $Ez = \lambda z$ , conforme descrição no item 1.1.

A decomposição de Cholesky de B em  $LL^t$ , onde L é uma matriz triangular inferior é executada primeiro, do seguinte modo:

Como  $\ell_{11} > 0$ , temos:

(i) Para  $k = 2, \dots, n$

$$\ell_{1k} = \sqrt{a_{1k}}$$

$$\ell_{k1} = \frac{b_{k1}}{\ell_{11}}$$

(ii) Para  $i = 2, 3, \dots, n$

$$\ell_{ii} = \sqrt{b_{ii} - \sum_{j=1}^{i-1} \ell_{ij}^2}$$

$$\ell_{ki} = \frac{1}{\ell_{ii}} (b_{ki} - \sum_{j=1}^{i-1} \ell_{ij} \ell_{kj}), \quad k = i+1, \dots, n.$$

Depois, a matriz  $E = L^{-1} A (L^{-1})^t$  é formada em dois passos:

$$LX = A \tag{12}$$

$$E L^t = X \tag{13}$$

onde as equações de (12) são dadas por:

Para  $i = 1, \dots, n$

$$x_{ij} = \frac{a_{ji} - \sum_{k=1}^{i-1} x_{kj} l_{ik}}{l_{ii}}, \quad j = i, \dots, n,$$

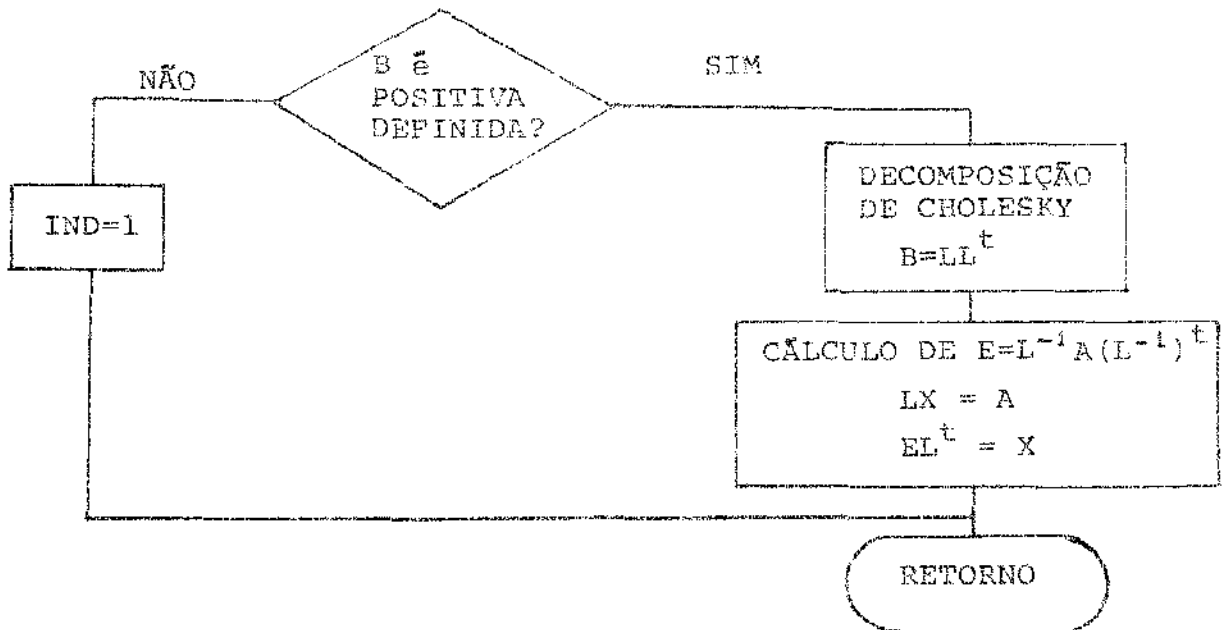
e as equações (13) são dadas por:

Para  $i = 1, 2, \dots, n$

$$(i) \quad e_{ij} = \frac{x_{ji} - \sum_{k=1}^{i-1} l_{ik} e_{jk}}{l_{ii}}, \quad j = i-1, i$$

$$(ii) \quad e_{ij} = \frac{x_{ji} - \sum_{k=1}^{i-1} l_{ik} e_{kj}}{l_{ii}}, \quad j = 1, i-2.$$

DIAGRAMA DE BLOCOS:



1.3.4. Método de Householder:

Seja  $E$  uma matriz real e simétrica. Este método computa  $P$  tal que  $P E P^t = T$ , onde  $T$  é uma matriz tridiagonal e  $P$  é ortogonal.

Fazendo-se  $E = A_i$ , depois de  $n-2$  transformações ortogonais, obteremos  $A_{n-1}$  tridiagonal.

Então,

$$A_{i+1} = P_i A_i P_i, \quad i = 1, 2, \dots, n-2$$

Seja  $w_i$  um vetor unitário ( $\|w_i\|_2 = 1$  ou  $w_i^t w_i = 1$ ) com  $n$  componentes, onde os  $i$  primeiros são zeros.

A matriz  $P_i$  é definida por

$$P_i = I - 2 w_i w_i^t = I - u_i u_i^t / H_i,$$

onde  $H_i = \frac{1}{2} u_i^t u_i$  e  $u_i$  é um vetor definido por:

$$u_i^t = [a_{\ell 1}^{(i)}; a_{\ell 2}^{(i)}; \dots; a_{\ell, \ell-2}^{(i)}; a_{\ell, \ell-1}^{(i)} \pm \sigma_i^{1/2}; 0; \dots; 0]$$

com o sinal de  $\sigma_i$  sempre igual ao de  $a_{\ell, \ell-1}^{(i)}$ ;  $\ell = n-i+1$  e

$$\sigma_i = (a_{\ell 1}^{(i)})^2 + (a_{\ell 2}^{(i)})^2 + \dots + (a_{\ell, \ell-1}^{(i)})^2$$

$$P_i = A_i u_i / H_i$$

$$K_i = u_i^t P_i / 2 H_i$$

$$q_i = P_i - K_i u_i .$$

Finalmente,

$$A_{i+1} = (I - u_i u_i^t / H) A_i (I - u_i u_i^t / H_i)$$

$$A_{i+1} = A_i - u_i q_i^t - q_i u_i^t .$$

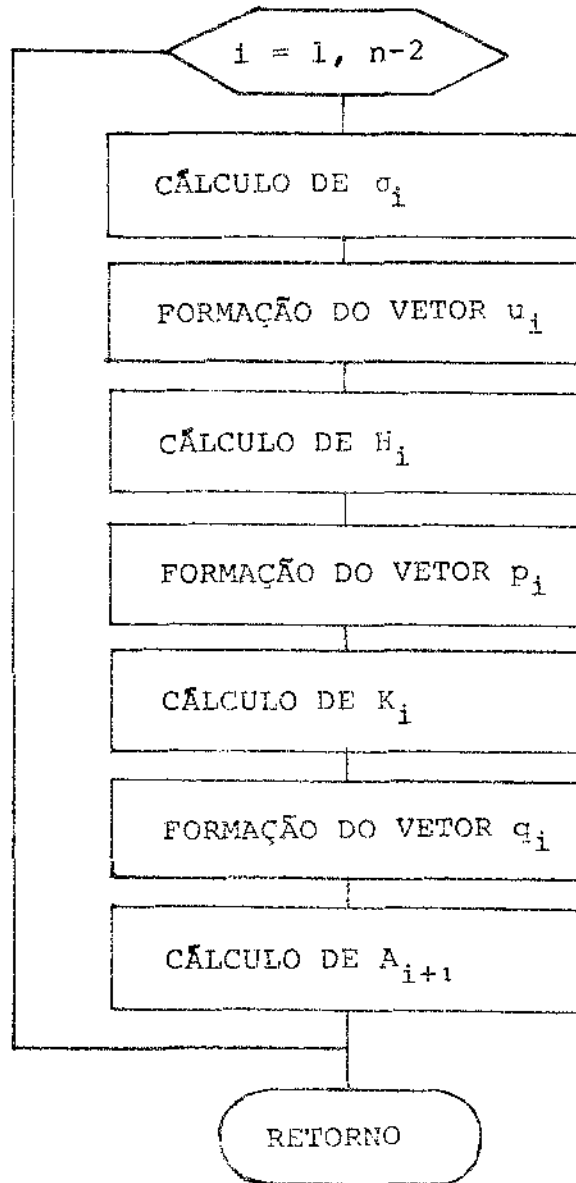
A matriz  $P_i$  da  $i$ -ésima transformação é da forma:

$$P_i = \left[ \begin{array}{ccc|ccc} I - 2w_i w_i^t & & & & & 0 \\ \hline & & & & & \\ & & & & & \\ & & & & & \\ 0 & & & & & I \end{array} \right] \begin{array}{l} \} n-i \\ \\ \\ \\ \} i \end{array}$$

e a matriz  $A_i$ , para  $n = 7$  e  $i = 4$  tem a forma:

$$A_i = \left[ \begin{array}{ccc|ccc} x & x & x & x & & & \\ x & x & x & x & & & \\ x & x & x & x & & & \\ \hline & & & & & & \\ x & x & x & x & x & & \\ & & & & x & x & x \\ & & & & & x & x & x \\ & & & & & & x & x \end{array} \right] \begin{array}{l} \} n-i \\ \\ \\ \} i \end{array} .$$

DIAGRAMA DE BLOCOS:



### 1.3.5. Variação racional do QL:

A essência desse método é um processo onde uma seqüência de matrizes tridiagonais reais e simétricas, unitariamente similares à matriz tridiagonal real e simétrica  $A_1$ , é formada e converge para uma matriz diagonal, cujos elementos da diagonal principal são os autovalores de  $A_1$ .

É definido pelas relações:

$$A_s = Q_s L_s$$
$$A_{s+1} = L_s Q_s = Q_s^t A_s Q_s$$

onde  $Q_s$  é ortogonal e  $L_s$  é triangular inferior.

O raio de convergência dessa seqüência é aperfeiçoado, perturbando-se a matriz original a cada iteração. O processo torna-se:

$$A_s - k_s I = Q_s L_s ,$$

onde  $k_s$  é uma perturbação na s-ésima iteração.

$$A_{s+1} = L_s Q_s + k_s I$$

dando

$$A_{s+1} = Q_s^t A_s Q_s$$

ou ainda, de uma forma mais conveniente, para melhorar a convergência:

$$Q_s (A_s - k_s I) = L_s$$

$$A_{s+1} = L_s Q_s^t$$

( $A_{s+1}$  é similar a  $A_1 - \sum k_i I$  ao invés de  $A_1$ ).

Antes das iterações, para cada autovalor, a matriz tri diagonal simétrica é checada para uma possível divisão em submatrizes, isto é, verificamos se existe um elemento  $\epsilon$  na subdiagonal, de pequeno valor, para que a separação possa ser feita, como podemos ver ilustrada para  $n = 7$  por:

$$\left[ \begin{array}{ccc|ccc} x & x & & & & \\ x & x & x & & & \\ & x & x & x & & \\ & & x & x & \epsilon & \\ \hline & & & \epsilon & x & x \\ & & & & x & x & x \\ & & & & & x & x \end{array} \right] \begin{array}{l} \\ \\ \\ \\ + \text{ linha } i \\ \\ \end{array}$$

Se a divisão ocorre, apenas a submatriz que está mais em cima, à esquerda, participa na próxima iteração. Os autovalores vão sendo colocados em ordem crescente, conforme são achados. A perturbação na matriz original a cada iteração é um autovalor da atual submatriz  $2 \times 2$ , que está mais em cima e, é próximo do primeiro elemento da diagonal dessa sub-

matriz. Sempre que a submatriz principal  $1 \times 1$ , que está mais em cima, finalmente se separa do resto da matriz, seu elemento é um autovalor da matriz original e o algoritmo prossegue com a matriz restante.

Esse processo continua, até a matriz toda ter se dividido em submatrizes de ordem 1.

A matriz  $Q_s$  é obtida na forma fatorizada:

$$Q_s = P_1^{(s)} P_2^{(s)} \dots P_{n-1}^{(s)}$$

onde os  $P_i^{(s)}$  são determinados na ordem  $P_{n-1}^{(s)}, \dots, P_1^{(s)}$ ; os  $P_i^{(s)}$  estão numa rotação no  $(i, i+1)$  plano projetado, para exterminar o elemento na posição  $(i, i+1)$ .

Com uma pequena manipulação algébrica, mostraremos que uma simples iteração é definida da seguinte maneira:

Sejam  $d_i^{(s)}$  ( $i = 1, \dots, n$ ) os elementos da diagonal principal e  $sd_i^{(s)}$  ( $i = 1, \dots, n-1$ ) os elementos da subdiagonal superior.

Omitindo-se o sufixo  $s$  em tudo, menos em  $d$  e  $sd$ , teremos:



$$p_n = d_n^{(s)} - k_s$$

$$c_n = 1$$

$$s_n = 0$$

para  $i = n-1, \dots, 1$

$$r_{i+1} = (p_{i+1}^2 + (sd_i^{(s)})^2)^{1/2}$$

$$g_{i+1} = c_{i+1} sd_i^{(s)}$$

$$h_{i+1} = c_{i+1} p_{i+1}$$

$$sd_{i+1}^{(s+1)} = s_{i+1} r_{i+1}$$

$$c_i = p_{i+1} / r_{i+1}$$

$$s_i = sd_i^{(s)} / r_{i+1}$$

$$p_i = c_i (d_i^{(s)} - k_s) - s_i g_{i+1}$$

$$d_{i+1}^{(s+1)} = h_{i+1} + s_i (c_i g_{i+1} + s_i (d_i^{(s)} - k_s))$$

$$sd_i^{(s+1)} = s_i p_i$$

$$d_i^{(s+1)} = c_i p_i$$

(14)

É este o critério usado para decidir quando um elemento é insignificante: imediatamente antes de iterarmos para o  $r$ -ésimo autovalor,

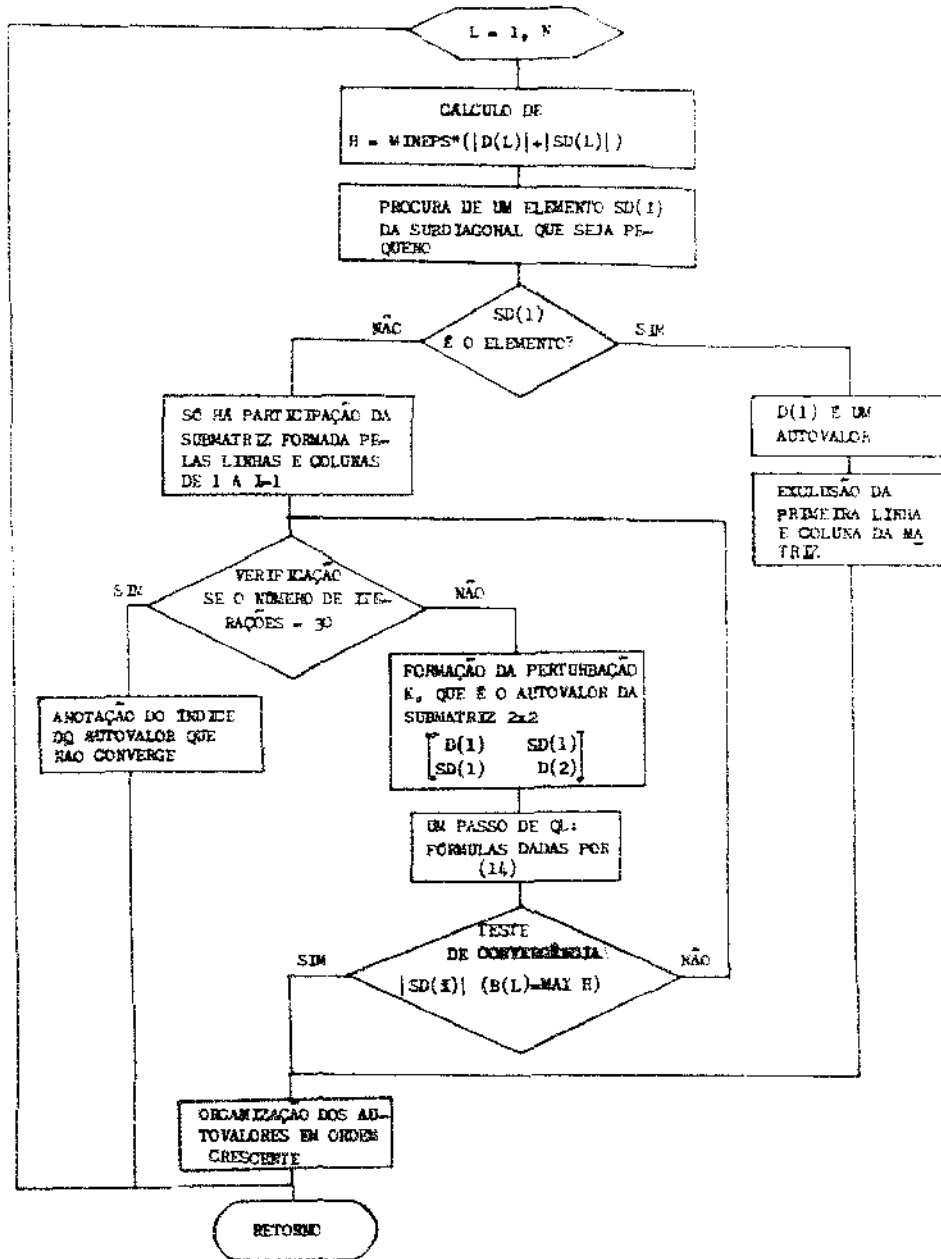
$$h_r = \text{mineps} ( | d_r^{(s)} | + | sd_r^{(s)} | )$$

é computado (mineps é o menor  $\epsilon$  tal que  $1 + \epsilon > 1$ ) e antes de começarmos a iteração, algum  $|sd_i^{(s)}|$  menor que  $b_r = \max_{i=1,r} h_i$  é considerado como insignificante.

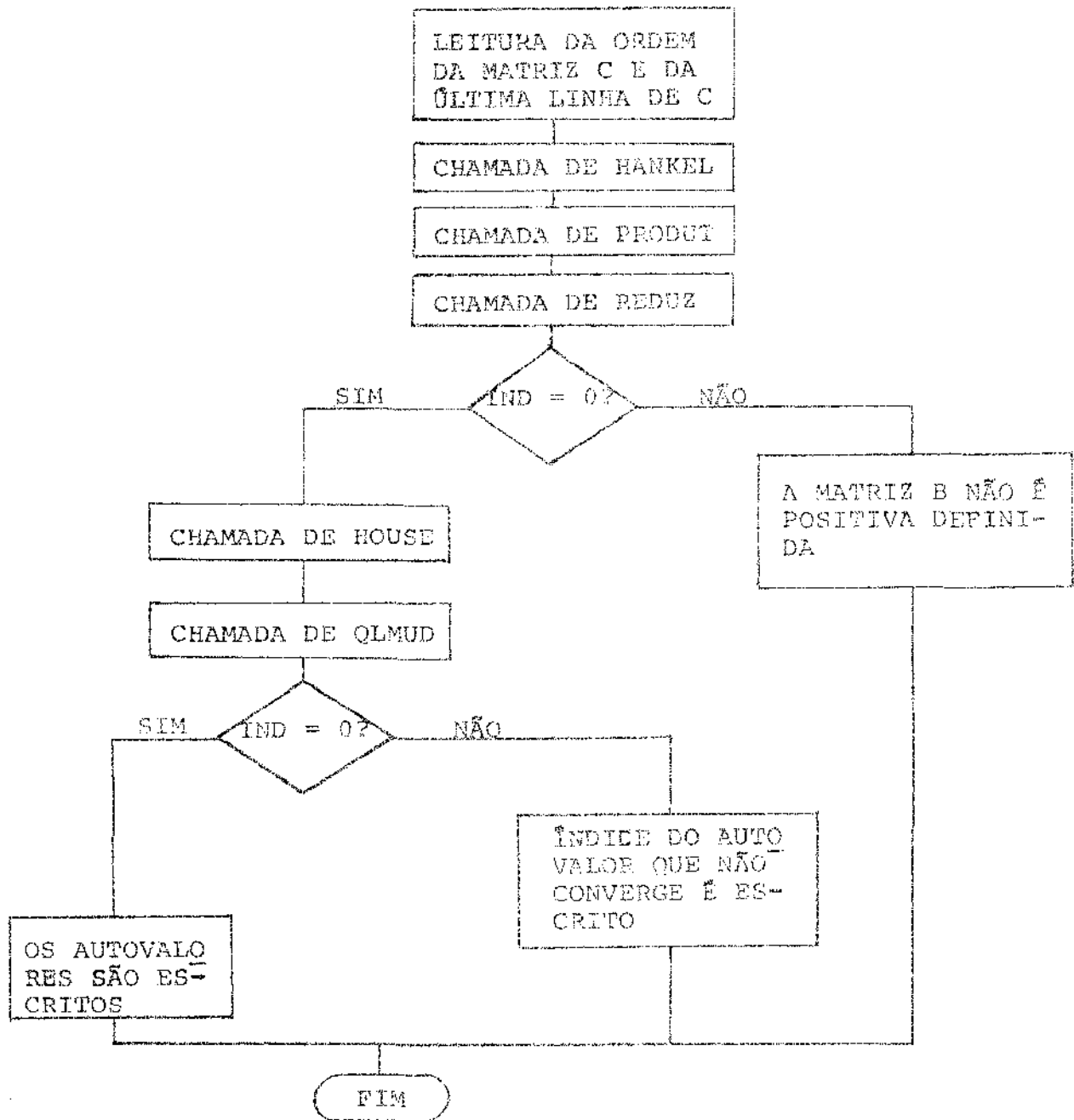
O número de iterações para cada autovalor é limitado - (arbitrariamente para 30).

O uso do QL é preferível ao convencional QR, pois as matrizes tridiagonais resultantes de Householder têm os elementos maiores no canto inferior, à direita e isto faz com que se torne necessário começar o algoritmo QR, trabalhando com a parte de baixo para cima.

DIAGRAMA DE BLOCOS:



1.4. Diagrama de blocos:



1.5. Aplicação:

Computar os autovalores de  $C^t x = \lambda x$  onde:

$$C^t = \begin{bmatrix} 0 & 0 & 2 \\ 1 & 0 & 2 \\ 0 & 1 & -1 \end{bmatrix}$$

Aplicando o método proposto:

(i) Construção da matriz Hankel:

$$H = \begin{bmatrix} s_0 & s_1 & s_2 \\ s_1 & s_2 & s_3 \\ s_2 & s_3 & s_4 \end{bmatrix} = \begin{bmatrix} 3 & -1 & 5 \\ -1 & 5 & -1 \\ 5 & -1 & 9 \end{bmatrix} = B$$

(ii) Construção da matriz  $A = BC^t = HC^t$ :

$$A = \begin{bmatrix} 3 & -1 & 5 \\ -1 & 5 & -1 \\ 5 & -1 & 9 \end{bmatrix} \cdot \begin{bmatrix} 0 & 0 & 2 \\ 1 & 0 & 2 \\ 0 & 1 & -1 \end{bmatrix} = \begin{bmatrix} -1 & 5 & -1 \\ 5 & -1 & 9 \\ -1 & 9 & -1 \end{bmatrix}$$

(iii) Redução de  $Ax = \lambda Bx$  para  $Ez = \lambda z$ :

(a) Decomposição de  $H = LL^t$  pelo método de Cholesky:

$$L = \begin{bmatrix} 1.7320508 & 0 & 0 \\ -0.5773502 & 2.1602469 & 0 \\ 2.8867513 & 0.3086065 & 0.7559292 \end{bmatrix}$$

(b) Cálculo de X de  $LX = A$ :

$$X = \begin{bmatrix} -0.5773502 & 2.8867513 & -0.5773502 \\ & 0.3086065 & 4.0118871 \\ & & -0.7559279 \end{bmatrix}$$

(c) Cálculo de E de  $EL^t = X$ :

$$E = \begin{bmatrix} -0.3333332 & & \\ 1.2472191 & 0.4761903 & \\ -9.6173 \cdot 10^{-8} & 0.3499273 & -1.1428549 \end{bmatrix} = A_1$$

(iv) Método de Householder:

$$i = 1, \dots, n-2$$

$$\text{como } n = 3 \rightarrow i = 1$$

$$\sigma_1 = a_{31}^2 + a_{32}^2 = 0.1224491$$

$$u_1^t = (a_{31}; a_{32} \pm \sqrt{\sigma_1}; 0) = (-9.6173 \cdot 10^{-8}; 0.6996546; 0)$$

$$H_1 = \frac{1}{2} u_1^t u_1 = 0.2448982$$

$$p_1 = A_1 u_1 = \begin{bmatrix} 3.564224 \\ 1.360826 \\ 1.0000001 \end{bmatrix}$$

$$K_1 = u_1^t p_1 / 2 H_1 = 1.9444405$$

$$q_1 = p_1 - K_1 u_1 = \begin{bmatrix} 3.5642241 \\ 3.72 \cdot 10^{-7} \\ 1.0000001 \end{bmatrix}$$

$$u_1 q_1^t = \begin{bmatrix} -3.42782 \cdot 10^{-7} & -3.57763 \cdot 10^{-14} & -9.6173 \cdot 10^{-8} \\ 2.4944386 & 2.60345 \cdot 10^{-7} & 0.6998546 \\ 0 & 0 & 0 \end{bmatrix}$$

$$q_1 u_1^t = \begin{bmatrix} -3.42782 \cdot 10^{-7} & 2.4944386 & 0 \\ -3.57763 \cdot 10^{-14} & 2.60345 \cdot 10^{-7} & 0 \\ -9.6173 \cdot 10^{-8} & 0.6998546 & 0 \end{bmatrix}$$

$$A_2 = A_1 - u_1 q_1^t - q_1 u_1^t$$

$$A_2 = \begin{bmatrix} -0.3333325 & -1.2472195 & 0 \\ -1.2472195 & 0.4761897 & -0.3499273 \\ 0 & -0.3499273 & -1.1428549 \end{bmatrix} = T$$

(v) Variação racional do QL:

L: índice do autovalor que está sendo procurado;

IND: número de iterações para o autovalor de índice L;

I: índice do elemento pequeno da subdiagonal;

K: perturbação

MINEPS:  $2 \times 10^{-24}$

L = 1

H = MINEPS\*(|D(L)|+|SD(L)|) =  $0.23550207 \times 10^{-7}$

IND = 1

I = 2 + submatriz atual formada pelas linhas e colunas de 1  
a 3.

K = -1.239826

PASSO DE QL: fórmulas de (14)

SD(1) = |1.5817528|

D(1) = -0.02356389

IND = 2

I = 2 + submatriz atual formada pelas linhas e colunas de 1  
a 3.

K = 1.319942

PASSO DE QL

SD(1) = |0.3084582|

D(1) = -0.07607795

IND = 3

I = 2 + submatriz atual formada pelas linhas e colunas de 1  
a 3.

K = -1.413738

PASSO DE QL

SD(1) = | $4.6807 \times 10^{-3}$ |



$$D(1) = -0.476077*10^{-3}$$

$$IND = 4$$

I = 2 → submatriz atual formada pelas linhas e colunas de 1  
a 3.

$$K = -1.414214$$

PASSO DE QL

$$SD(1) = |9.20869*10^{-10}|$$

$$D(1) = -0.1396683*10^{-10}$$

$$\lambda_1 = -1.414214$$

$$L = 2$$

$$H = 0.6228003*10^{-8}$$

$$IND = 1$$

I = 2 → submatriz atual formada pelas linhas e colunas de 2  
a 3.

$$K = -1$$

PASSO DE QL

$$SD(2) = |2.37402*10^{-7}|$$

$$D(2) = 0.2355201*10^{-7}$$

$$\lambda_2 = -1$$

$$L = 3$$

$$H = 0.3597459*10^{-7}$$

I = 1 → submatriz formada pela linha e coluna 3

$$D(3) = 1.414214$$

$$\lambda_3 = 1.414214$$

## CAPÍTULO 2

### MÉTODO QR:

#### 2.1. Introdução:

O algoritmo QR determina os autovalores de uma matriz qualquer. Uma seqüência de matrizes, unitariamente similar à matriz original, é formada. Tal seqüência converge para uma matriz triangular, cujos elementos na diagonal principal são os autovalores da matriz original.

Como estamos interessados nas matrizes companheiras reais, seguindo-se a indicação de "Eispack Guide" [ 5, 6 ], utilizaremos o seguinte caminho: primeiro, a matriz companheira será balanceada, isto é, as normas  $L_1$  das linhas e colunas correspondentes da matriz original serão igualadas. Posteriormente, o método QR para matrizes de Hessenberg é aplicado.

#### 2.2. Algoritmos usados:

##### 2.2.1. Balanceamento de uma matriz:

Este algoritmo balanceia uma matriz real geral A eisola autovalores, sempre que possível. As somas dos módulos dos elementos em linhas e colunas correspondentes serão quase iguais pelas transformações exatas de similaridade e, os autovalores serão isolados pelas transformações similares de permutação. O ba

lanceamento reduz a norma 1 da matriz original, sempre que as somas dos módulos dos elementos em algumas linhas e correspondentes colunas, são marcadamente diferentes e, ao mesmo tempo, não altera os autovalores. Reduzindo a norma por esse caminho, podemos aperfeiçoar a exatidão dos autovalores computados. Adicionalmente, o tempo de execução do algoritmo é pequeno, comparado ao das rotinas que determinam os autovalores.

O método funciona do seguinte modo: primeiramente, determina-se o produto P da permutação das matrizes tal que:

$$P^t A P = \begin{bmatrix} T & X & Y \\ 0 & B & Z \\ 0 & 0 & R \end{bmatrix},$$

onde T e R são matrizes triangulares superiores e, B é uma matriz quadrada, formada pelas linhas e colunas LOW a IGH, com os elementos que estão fora da diagonal principal, diferentes de zero. X, Y e Z são matrizes retangulares, de dimensões apropriadas.

Os elementos da diagonal principal de T e R são os autovalores isolados de A.

Depois, a subrotina determina iterativamente a matriz diagonal D, não-singular, de ordem IGH - LOW + 1, tal que:  $D^{-1}BD$  seja a matriz balanceada, com as somas dos módulos dos elementos das linhas e colunas correspondentes de  $D^{-1}BD$ , próximas de zero. Os elementos de D são potências exatas da base de representação do ponto aritmético flutuante do computador. Podemos represen -

tar a matriz final por:

$$\begin{bmatrix} T & XD & Y \\ 0 & D^{-1}BD & D^{-1}Z \\ 0 & 0 & R \end{bmatrix} \cdot$$

O algoritmo pode ser descrito do seguinte modo: seja  $A_0$  a matriz formada pelos elementos de  $A$  que não estão na diagonal principal. Para alguma matriz diagonal  $D$  não-singular,

$$D^{-1} A D = \text{diag}(A) + D^{-1} A_0 D,$$

e apenas  $A_0$  é afetada. Assumimos que nem as linhas ou colunas de  $A_0$  desaparecem.

De  $A_0$ , uma seqüência  $\{A_k\}$  é formada. O termo  $A_k$  difere de  $A_{k-1}$  apenas numa linha e correspondente coluna.

Seja  $k = 1, 2, \dots$  e seja  $i$  o índice da linha e coluna modificada no passo de  $A_{k-1}$  a  $A_k$ . Então, se  $n$  é a ordem de  $A_0$ ,  $i$  é dado por:

$$i - 1 \equiv k - 1 \pmod{n}.$$

Então, as linhas são modificadas em ciclos, em suas ordens naturais. O  $k$ -ésimo passo é como se segue:

(a) Seja  $R_k$  e  $C_k$  as normas  $L_1$  da linha  $i$  e coluna  $i$  de  $A_{k-1}$ . De acordo com a suposição acima,  $R_k C_k \neq 0$ . Portanto, se  $\beta$  é a base do computador, existe um único inteiro  $\sigma = \sigma_k$  tal

que

$$\beta^{2\sigma-1} < \frac{R_k}{C_k} \leq \beta^{2\sigma+1}$$

define  $f = f_k$  por  $f = \beta^\sigma$ .

(b) Para a constante dada  $\gamma \leq 1$ , tomamos:

$$\bar{D}_k = \begin{cases} I + (f-1) e_i e_i^t & \text{se } (C_k * f) + \frac{R_k}{f} < \gamma * (C_k + R_k) \\ I & \text{e vice-versa} \end{cases}$$

onde  $I = (e_1, \dots, e_n)$  é a matriz identidade.

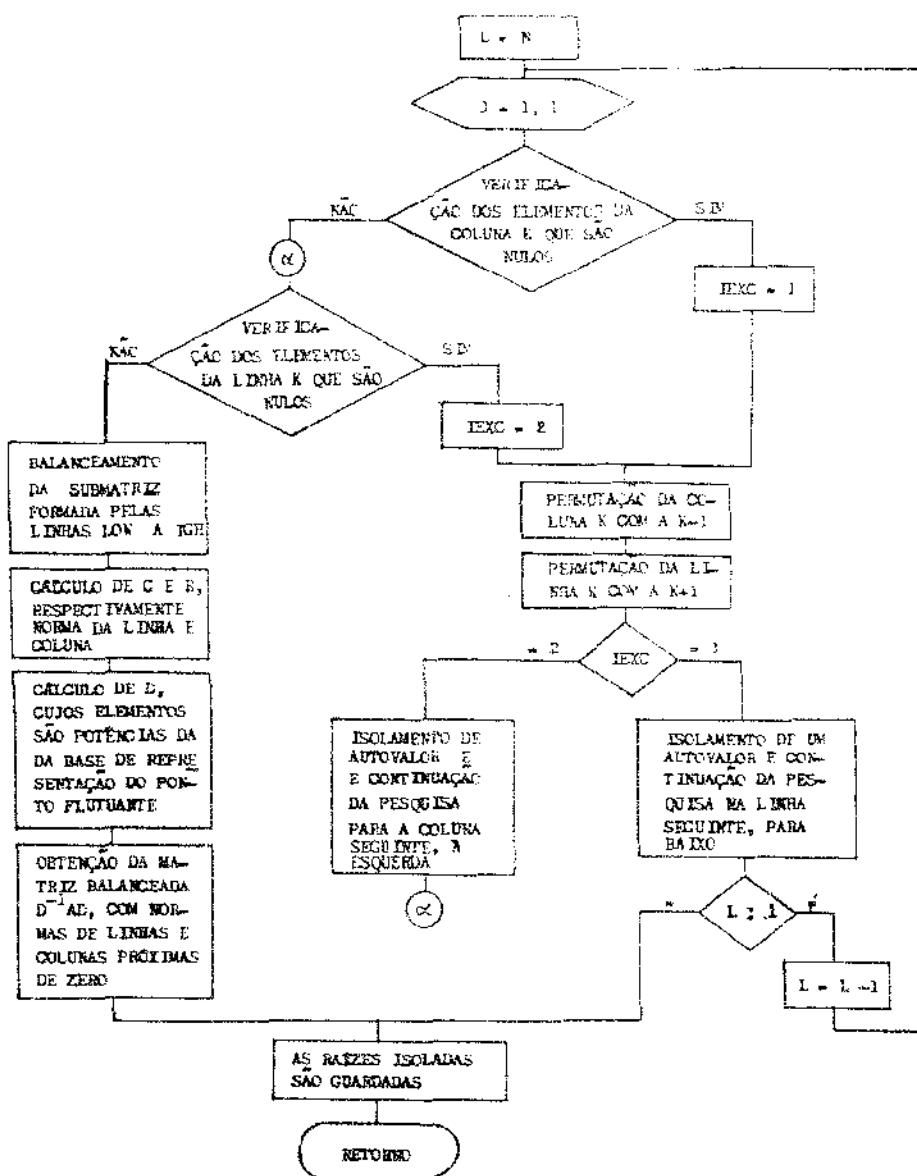
(c) Forma:

$$D_k = \bar{D}_k D_{k-1}; \quad D_0 = I;$$

$$A_k = \bar{D}_k^{-1} A_{k-1} \bar{D}_k.$$

A iteração termina se, para um ciclo completo,  $\bar{D}_k = I$ .

DIAGRAMA DE BLOCOS:



### 2.3. Algoritmo QR para matrizes reais de Hessenberg:

Seja A uma matriz real. O algoritmo QR é baseado na observação de que: se

$$A = QR \quad e$$

$$B = RQ \quad ,$$

onde Q é ortogonal e R triangular superior; então,

$$B = RQ = Q^t A Q \quad ,$$

isto é, B é unitariamente similar a A.

Por repetidas aplicações dos resultados acima, a seqüência de matrizes reais que é unitariamente similar à matriz dada  $A_1$ , pode ser derivada das relações:

$$A_s = Q_s R_s \quad ,$$

$$A_{s+1} = R_s Q_s = Q_s^t A_s Q_s \quad .$$

Quando a matriz inicial  $A_1$  é da forma de Hessenberg superior, todo  $A_s$  também será dessa forma.

O volume de trabalho envolvido num passo QR é bem menor, se a matriz é da forma de Hessenberg.

O raio de convergência dessa seqüência é melhorado, pela perturbação na matriz original a cada iteração:

$$Q_s (A_s - k_s I) = R_s \quad ,$$

$$A_{s+1} = R_s Q_s^t + k_s I = Q_s A_s Q_s^t ,$$

onde  $Q_s$  é ortogonal,  $R_s$  triangular superior e  $k_s$  é a perturbação na matriz original.

Parlett [ 18 ] mostrou que se todos  $k_s$  são zeros, então, em geral,  $A_s$  tende para uma forma na qual:

$$a_{i+1,i}^{(s)} a_{i+2,i+1}^{(s)} = 0 \quad (i = 1, \dots, n-2) ,$$

ou seja,

Definição: Uma sequência  $\{A^{(s)} = (a_{ij}^{(s)})\}$ ,  $s = 1, 2, \dots$  de matrizes de Hessenberg  $n \times n$ , converge sempre que

$$a_{i+1,i}^{(s)} a_{i+2,i-1}^{(s)} = 0, \quad \text{para cada } j = 1, \dots, n-2.$$

Partindo-se desta definição, podemos enunciar o seguinte teorema:

Teorema: O algoritmo básico QR aplicado a matrizes de Hessenberg irredutíveis  $A$  (isto é,  $a_{ij} \neq 0$ ,  $i = j+1$ ), produz uma sequência de matrizes de Hessenberg, a qual converge se e somente se entre os conjuntos de autovalores de igual magnitude, existem no máximo dois de multiplicidade par e dois de multiplicidade ímpar.

Quando os autovalores são reais, a convergência é sempre garantida.

Portanto, todos os autovalores são isolados na diagonal principal ou são os autovalores da submatriz diagonal  $2 \times 2$ . Para que haja uma convergência rápida, é essencial que as perturbações na matriz original sejam usadas e, que cada perturbação



$k_s$  seja próxima de um autovalor de  $A_1$  (e, portanto, de todo  $A_s$ ).

Antes de cada iteração, a última forma de Hessenberg é verificada, para ver se existe algum elemento muito pequeno na subdiagonal, de modo que se torne possível a divisão da matriz em submatrizes.

O critério usado para se saber sobre a existência de elementos insignificantes é o seguinte:

$$|a_{\ell, \ell-1}| \leq \text{mineps}(|a_{\ell-1, \ell-1}| + |a_{\ell, \ell}|),$$

isto é, compara o elemento da subdiagonal com os elementos da diagonal local.

Se a divisão ocorre, apenas a submatriz formada pelas linhas e colunas de  $\ell$  a  $n$ , que está mais em baixo, à direita, participará na próxima iteração, como podemos ver representada, quando  $n = 7$  por:

$$A_s = \left[ \begin{array}{ccc|cccc} x & x & x & x & x & x & x \\ x & x & x & x & x & x & x \\ & & x & x & x & x & x \\ \hline & & & \varepsilon & x & x & x & x \\ & & & & x & x & x & x \\ & & & & & x & x & x \\ & & & & & & x & x \end{array} \right] + \text{linha } \ell$$

Sempre que uma submatriz  $1 \times 1$  ou  $2 \times 2$  finalmente se separa do resto da matriz, os autovalores dessa submatriz se

rão aqueles da matriz original e, o algoritmo prossegue, com o restante da matriz. Esse processo continua, até a matriz dividir-se completamente em submatrizes de ordem 1 ou 2.

A aritmética, no processo, é sempre mantida real, pela combinação de duas iterações numa única, aplicando-se duas perturbações reais na matriz original, ou um par de perturbações complexas conjugadas na matriz original.

Essas perturbações, a cada estágio, serão as duas raízes da matriz  $2 \times 2$ , situadas no canto inferior, à direita, da atual  $A_s$  dadas por:

$$\begin{aligned} k_s + k_{s+1} &= a_{n-1,n-1}^{(s)} + a_{nn}^{(s)} \\ k_s k_{s+1} &= a_{n-1,n-1}^{(s)} a_{n,n-1}^{(s)} - a_{n-1,n}^{(s)} a_{n,n-1}^{(s)}. \end{aligned}$$

Householder [ 3, p. 290-293 ] mostrou que qualquer matriz real pode ser triangularizada por sucessivas pré-multiplicações de matrizes reais e simétricas elementares  $P_1, P_2, \dots, P_{n-1}$ , onde  $P_s = I - 2 w_s w_s^t$  e,  $w_s$  é um vetor unitário, com elementos diferentes de zero, apenas nas posições  $s, s+1, s+2$ .

A matriz  $Q$  real pode, então, ser escrita da forma  
 $Q = P_1 P_2 \dots P_{n-1}$ .

Podemos reduzir o número de operações, usando a expressão  $2 w_s w_s^t$ , na forma  $u_s v_s^t$ , onde  $u_s$  e  $v_s$  são ambos paralelos a  $w_s$  e seus elementos diferentes de zero são dados respectivamente, por:

$$u_s = (p_s \pm \sigma_s) / (\pm c_s), \quad q_s / (\pm c_s), \quad r_s / (\pm c_s)$$

e

$$v_s = 1, \quad q_s / (p_s \pm \sigma_s), \quad r_s / (p_s \pm \sigma_s),$$

com  $c_s^2 = p_s^2 + q_s^2 + r_s^2$  e os elementos  $p_s, q_s, r_s$  serão definidos mais adiante.

Depois de determinar  $\ell$ , a submatriz formada pelas linhas e colunas de  $\ell$  a  $n$  é examinada e, se existirem dois elementos consecutivos da subdiagonal, suficientemente pequenos, haverá possibilidade de trabalharmos com uma submatriz menor e equilibrada. Podemos representar para  $n = 7$  por:

$$A_s = \begin{bmatrix} x & x & | & x & x & x & x & x \\ x & x & | & x & x & x & x & x \\ & & \epsilon_1 & | & x & x & x & x & x \\ & & & & \epsilon_2 & x & x & x & x \\ & & & & & x & x & x & x \\ & & & & & & x & x & x \\ & & & & & & & x & x \end{bmatrix} + \text{linha } m$$

Começamos, então, pela linha  $m$ , calculando os elementos  $p_m, q_m, r_m$ , definidos por:

$$p_m = a_{mm}^2 - a_{nm}(k_1 + k_2) + k_1 k_2 + a_{m,m+1} a_{m+1,m}$$

$$q_m = a_{m+1,m} (a_{mm} + a_{m+1,m+1} - k_1 - k_2)$$

$$r_m = a_{m+2,m+1} a_{m+1,m}$$

e deles, determinamos a apropriada matriz  $P_m$ , que irá gerar elementos diferentes de zero, nas posições  $(m+1, m-1), (m+2, m-1)$ , quando aplicada à matriz cheia. Podemos ilustrar por:

$$\left[ \begin{array}{cc|ccccc} x & x & x & x & x & x & x \\ x & x & x & x & x & x & x \\ \hline & & r_1 & x & x & x & x \\ & & r_2 & x & x & x & x \\ & & r_3 & x & x & x & x \\ & & & & & x & x & x \\ & & & & & & x & x \end{array} \right]$$

A condição requerida é que  $r_2$  e  $r_3$  sejam insignificantes, o que nos leva para o critério

$$|a_{m,m-1}| * (|q_m| + |r_m|) \leq \text{mineps} * |P_m| * (|a_{m+1,m+1}| + |a_{mm}| + |a_{m-1,m-1}|).$$

O algoritmo QR, finalmente, reduz a matriz de Hessenberg  $A_1$  para a matriz de Hessenberg  $A_s$ , onde

$$a_{i+1,i}^{(s)} a_{i+1,i+1}^{(s)} = 0 \quad (i = 1, \dots, n-2).$$

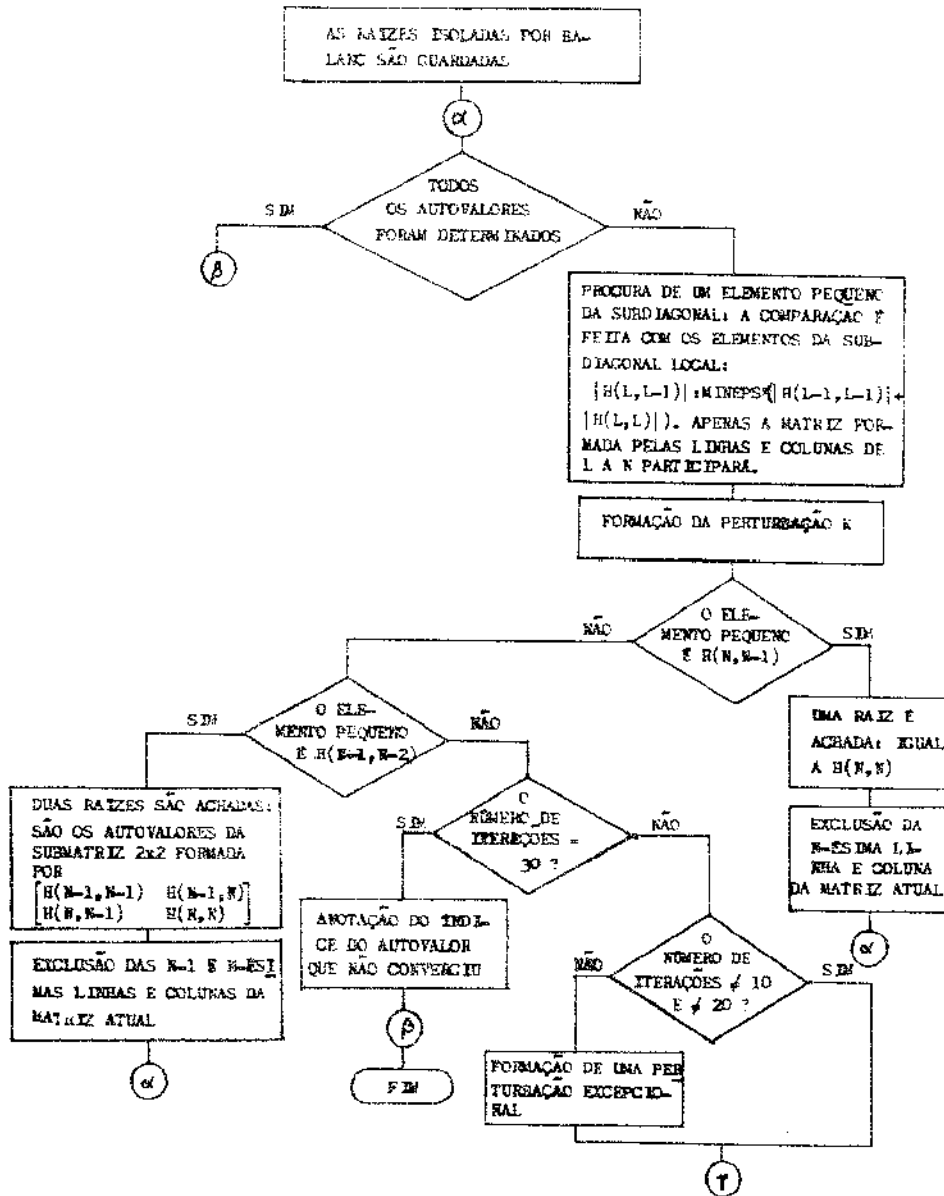
Se, depois de 10 iterações, nenhum autovalor for determinado, as perturbações  $k_1$  e  $k_2$  serão substituídas, na próxima i iteração, por perturbações definidas por:

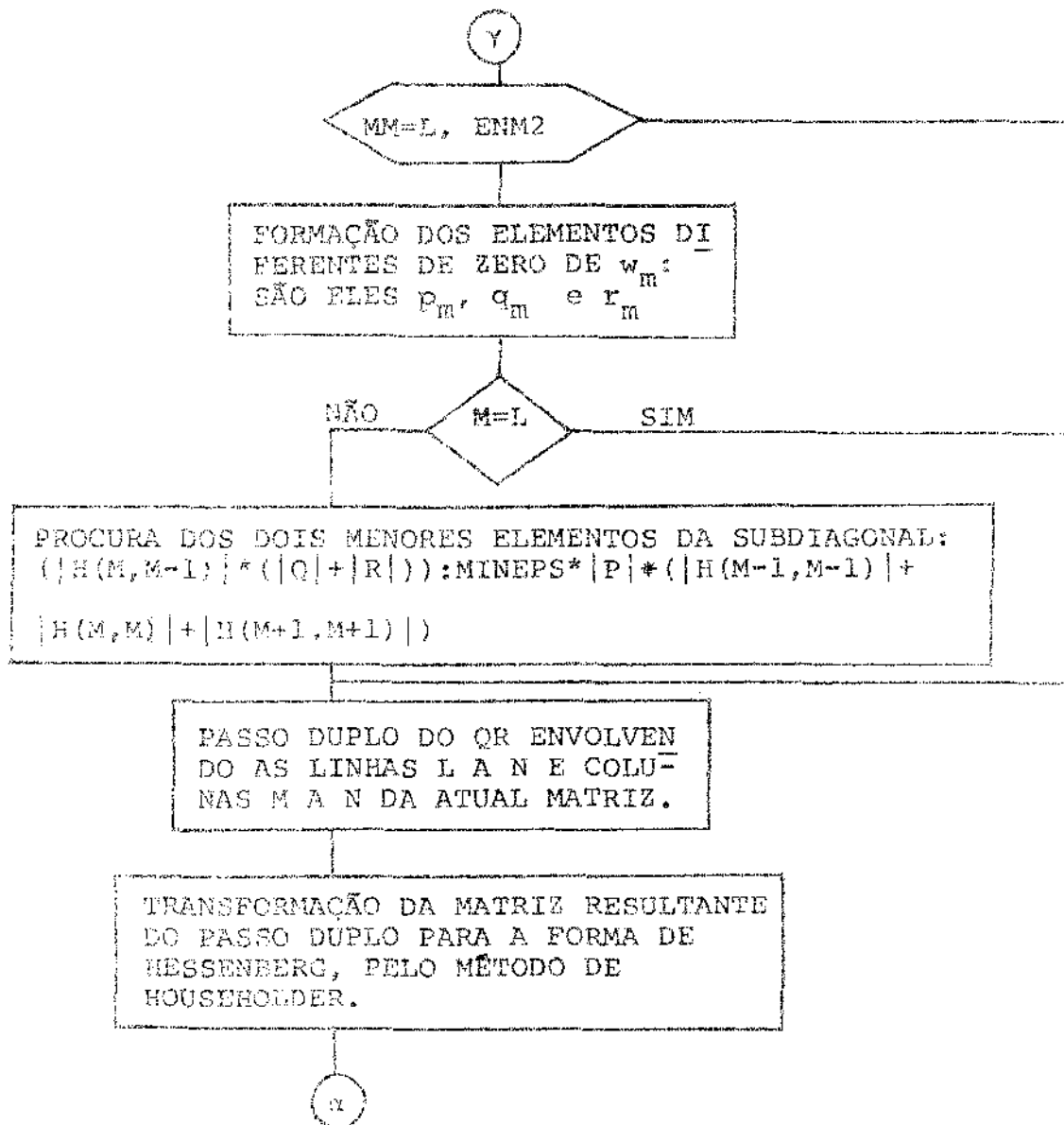
$$k_1 + k_2 = 1,5 * (|a_{n,n-1}| + |a_{n-1,n-2}|),$$

$$k_1 k_2 = (|a_{n,n-1}| + |a_{n-1,n-2}|)^2 .$$

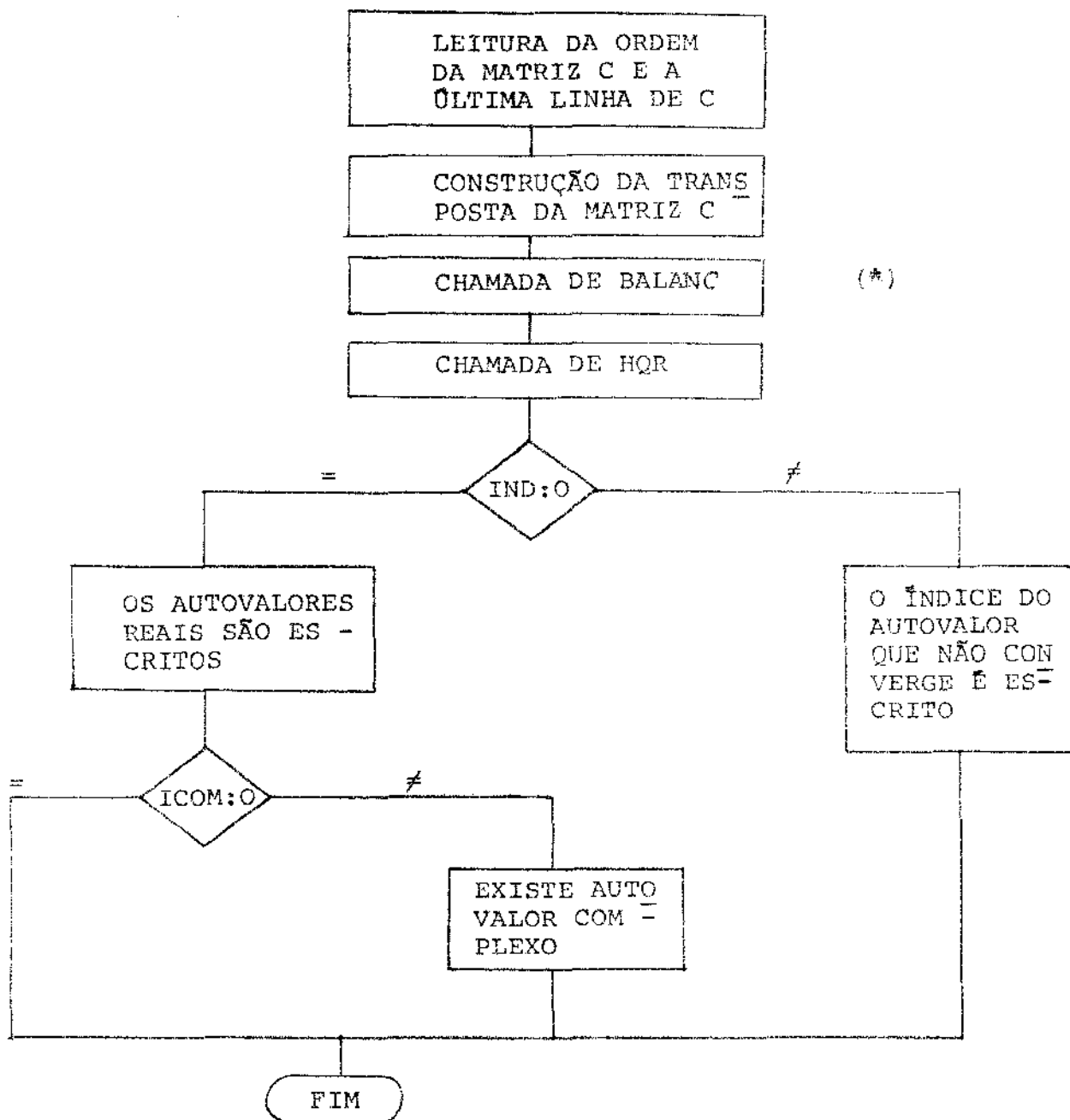
Essa estratégia é usada novamente depois de 20 iterações. Se 30 iterações são usadas, então, a indicação de falha de convergência é dada.

DIAGRAMA DE BLOCOS:





2.3. Diagrama de blocos:



(\*) Podemos pular a subrotina BALANC, nomeando LOW=1 e IGH=N.



2.4. Aplicação:

Computar os autovalores de  $C^t x = \lambda x$  onde

$$C^t = A_v = \begin{bmatrix} 0 & 0 & 2 \\ 1 & 0 & 2 \\ 0 & 1 & -1 \end{bmatrix}.$$

Aplicando o método QR:

(i) Balanceamento da matriz  $C^t$ :

$$\beta = 2$$

$$\gamma = 0,95$$

$$C_i = \text{norma } L_1 \text{ da coluna } i$$

$$R_i = \text{norma } L_1 \text{ da linha } i$$

Toda linha e coluna tem um elemento não nulo. Portanto, não há permutação de linhas ou colunas.

A submatriz a ser balanceada é formada pelas linhas e colunas de 1 a 3.

$$C_1 = |A(2, 1)| + |A(3, 1)| = 1$$

$$R_1 = |A(1, 2)| + |A(1, 3)| = 2$$

$$\sigma = 0 + f = 1$$

$$C_1 * f + \frac{R_1}{f} = 3 > \gamma * (C_1 + R_1) = 2,85$$

$$C_2 = |A(1, 2)| + |A(3, 2)| = 1$$

$$R_2 = |A(2, 1)| + |A(2, 3)| = 3$$

$$\sigma = 1 \rightarrow f = 2$$

$$C_2 * f + \frac{R_2}{f} = 3,5 < \gamma * (C_2 + R_2) = 3.8$$

$$2a. \text{ linha } * \frac{1}{f} = 0.5 (1; 0; 2) = (0.5; 0; 1)$$

$$2a. \text{ coluna } * f = 2 \begin{bmatrix} 0 \\ 0 \\ 1 \end{bmatrix} = \begin{bmatrix} 0 \\ 0 \\ 2 \end{bmatrix}$$

$$A_1 = \begin{bmatrix} 0 & 0 & 2 \\ 0.5 & 0 & 1 \\ 0 & 2 & -1 \end{bmatrix}$$

$$C_3 = |A(1, 3)| + |A(2, 3)| = 3$$

$$R_3 = |A(3, 1)| + |A(3, 2)| = 2$$

$$\sigma = 0 \rightarrow f = 1$$

$$C_3 * f + \frac{R_3}{f} = 5 < \gamma * (C_3 + R_3) = 4.75$$

$$C_1 = |A(2, 1)| + |A(3, 1)| = 0.5$$

$$R_1 = |A(1, 2)| + |A(1, 3)| = 2$$

$$\sigma = 1 \rightarrow f = 2$$

$$C_1 * f + \frac{R_1}{f} = 2 < \gamma * (C_1 + R_1) = 2.375$$

$$1a. \text{ linha } * \frac{1}{f} = 0.5 (0; 0; 2) = (0; 0; 1)$$

$$1a. \text{ coluna } * f = 2 \begin{bmatrix} 0 \\ 0.5 \\ 0 \end{bmatrix} = \begin{bmatrix} 0 \\ 1 \\ 0 \end{bmatrix}$$

$$A_2 = \begin{bmatrix} 0 & 0 & 1 \\ 1 & 0 & 1 \\ 0 & 2 & -1 \end{bmatrix}$$

$$C_2 = |A(1, 2)| + |A(3, 2)| = 2$$

$$R_2 = |A(2, 1)| + |A(2, 3)| = 2$$

$$c = 0 + f = 1$$

$$C_2 * f + \frac{R_2}{f} = 4 > \gamma * (C_2 + R_2) = 3.8$$

$$C_3 = |A(1, 3)| + |A(2, 3)| = 2$$

$$R_3 = |A(3, 1)| + |A(3, 2)| = 2$$

$$c = 0 + f = 1$$

$$C_3 * f + \frac{R_3}{f} = 4 > \gamma * (C_3 + R_3) = 3.8$$

$$C_1 = |A(1, 2)| + |A(1, 3)| = 1$$

$$R_1 = |A(2, 1)| + |A(3, 1)| = 1$$

$$c = 0 + f = 1$$

$$C_1 * f + \frac{R_1}{f} = 2 > \gamma * (C_1 + R_1) = 1.9$$

$$C_2 = |A(1, 2)| + |A(3, 2)| = 2$$

$$R_2 = |A(2, 1)| + |A(2, 3)| = 2$$

$$\sigma = 0 + f = 1$$

$$C_2 * f + \frac{R_2}{f} = 4 > \gamma * (C_2 + R_2) = 3.8$$

$$C_3 = |A(1, 3)| + |A(2, 3)| = 2$$

$$R_3 = |A(3, 1)| + |A(3, 2)| = 2$$

$$C_3 * f + \frac{R_3}{f} = 4 > \gamma * (C_3 + R_3) = 3.8$$

$$C_{\text{BALANCEADA}}^t = \begin{bmatrix} 0 & 0 & 1 \\ 1 & 0 & 1 \\ 0 & 2 & -1 \end{bmatrix}$$

(ii) QR para matrizes reais de Hessenberg superior:

$$A_0 = \begin{bmatrix} 0 & 0 & 1 \\ 1 & 0 & 1 \\ 0 & 2 & -1 \end{bmatrix}$$

$$\text{MINEPS} = 10^{-8}$$

$$||A_0||_1 = 6$$

$$|a_{32}| = 2 > \text{MINEPS} * (|a_{33}| + |a_{22}|) = 10^{-8}$$

$$|a_{21}| = 1 > \text{MINEPS} * (|a_{22}| + |a_{11}|) = 0$$

$L = 1 \rightarrow$  a submatriz  $\tilde{e}$  formada pelas linhas e colunas de 1 a 3.

$$k_1 + k_2 = a_{22} + a_{33} = -1$$

$$k_1 * k_2 = a_{22} a_{33} - a_{23} a_{32} = -2$$

1a. ITERAÇÃO:

$$p_1 = \frac{a_{11}^2 - a_{11}(k_1 + k_2) + k_1 k_2 + a_{12} a_{21}}{|p| + |q| + |r|} = -0.4$$

$$q_1 = \frac{a_{21}(a_{11} + a_{22} - k_1 - k_2)}{|p| + |q| + |r|} = 0.2$$

$$r_1 = \frac{a_{32} a_{21}}{|p| + |q| + |r|} = 0.4$$

PASSO DUPLO DO QR:

$$c_1 = (\text{sinal de } p_1) \sqrt{p_1^2 + q_1^2 + r_1^2} = 0.6$$

$$u_1 = \left( \frac{p_1 + c_1}{c}, \frac{q_1}{c}, \frac{r_1}{c} \right) = (1.6666667; -0.33333333; -0.66666667)$$

$$v_1 = \left( 1; \frac{q_1}{p_1 + c}; \frac{r_1}{p_1 + c} \right) = (1; -0.2; -0.4)$$

$$P_1 = I - u_1 v_1^t$$

$$A_1 = P_1 A_0 P_1 = \begin{bmatrix} -0.4444444 & 1.488889 & -0.6888889 \\ 0.2222222 & -0.1244445 & 1.684444 \\ 0.4444445 & 1.351111 & -0.4311111 \end{bmatrix}$$

$$p_2 = \frac{a_{21}}{|p| + |q| + |r|} = 0.3333333$$

$$q_2 = \frac{a_{31}}{|p| + |q| + |r|} = 0.6666667$$

$$r_2 = \frac{0}{|p| + |q| + |r|} = 0$$

$$\sigma_2 = (\text{sinal de } p_2) \sqrt{p_2^2 + q_2^2 + r_2^2} = 0.7453560$$

$$u_2 = \left( \frac{p_2 + \sigma}{\sigma}, \frac{q_2}{\sigma}, \frac{r_2}{\sigma} \right) = (1.447214; 0.8944272; 0)$$

$$v_2 = \left( 1, \frac{q_2}{p_2 + \sigma}, \frac{r_2}{p_2 + \sigma} \right) = (1; 0.6180340; 0)$$

$$P_2 = I - u_2 v_2^t$$

$$A_2 = P_2 A_1 P_2 = \begin{bmatrix} -0.4444444 & -0.04969044 & -1.639783 \\ -0.4969040 & 0.8444445 & 0.8666666 \\ 0 & 1.2 & -1.4 \end{bmatrix}$$

$$|a_{32}| = 1.2 > \text{MINEPS} * (|a_{33}| + |a_{22}|) = 2.244445 * 10^{-9}$$

$$|a_{21}| = 0.4969040 > \text{MINEPS} * (|a_{22}| + |a_{11}|) = 1.288889 * 10^{-9}$$

L = I + a submatriz  $\tilde{e}$  formada pelas linhas e colunas de 1 a 3.

Analogamente às fórmulas dadas acima, temos:

$$k_3 + k_4 = -0.5555555$$

$$k_3 * k_4 = -2.2222222$$

2a. ITERAÇÃO:

$$p_3 = 0.6771855$$

$$q_3 = 0.1431033$$

$$r_3 = 0.1797112$$

PASSO DUPLO DO QR:

$$c_3 = 0.7150908$$

$$u_3 = (1.946992; 0.2001191; 0.2513123)$$

$$v_3 = (1; 0.1027837; 0.1290772)$$

$$P_3 = I - u_3 v_3^T$$

$$A_3 = P_3 A P_3^T = \begin{bmatrix} -0.8430799 & -0.5636437 & 1.555278 \\ -0.0895233 & 0.8377019 & 1.252939 \\ -0.1059307 & 1.128061 & -0.994622 \end{bmatrix}$$

$$p_4 = -0.4580274$$

$$q_4 = -0.5419726$$

$$r_4 = 0$$

$$\sigma_4 = -0.7095938$$

$$u_4 = (1.645478; 0.7637787; 0)$$

$$v_4 = (1; 0.4641682; 0)$$

$$P_4 = I - u_4 v_4^t$$

$$A_4 = P_4 A_3 P_4 = \begin{bmatrix} -0.8430799 & -0.8240687 & 1.434397 \\ 0.1386930 & 0.9426404 & 1.039376 \\ 0 & 1.164254 & -1.099561 \end{bmatrix}$$

$$|a_{32}| = 1.164254 > \text{MINEPS} * (|a_{33}| + |a_{22}|) = 2.042201 * 10^{-6}$$

$$|a_{21}| = 0.1386930 > \text{MINEPS} * (|a_{22}| + |a_{11}|) = 1.785720 * 10^{-8}$$

L = 1 + a submatriz  $\tilde{e}$  formada pelas linhas e colunas de 1 a 3.

$$k_5 + k_5 = -0.1569206$$

$$k_5 * k_6 = -2.2465883$$

### 3a. ITERAÇÃO:

$$p_5 = -0.9004537$$

$$q_5 = 0.01797077$$

$$r_5 = 0.08157557$$



PASSO DUPLO DO QR:

$$\sigma_5 = -0.9043198$$

$$u_5 = (1.995725; -0.01987214; -0.09020655)$$

$$v_5 = (1; -0.009957356; -0.04519990)$$

$$P_5 = I - u_5 v_5^t$$

$$A_5 = P_5 A P_5 = \begin{bmatrix} -0.9557888 & 0.9622048 & -1.425528 \\ -0.00660777 & 0.9263119 & 1.074472 \\ 0.01020274 & 1.083464 & -0.9705231 \end{bmatrix}$$

$$p_5 = -0.3930739$$

$$q_5 = 0.6069261$$

$$r_5 = 0$$

$$\sigma_6 = -0.7230950$$

$$u_6 = (1.543599; -0.8393449; 0)$$

$$v_6 = (1; -0.5437583; 0)$$

$$P_6 = I - u_6 v_6^t$$

$$A_6 = P_6 A P_6 = \begin{bmatrix} -0.9557888 & -1.719563 & 0.03270596 \\ 0.01215560 & -1.394604 & -0.4196699 \\ 0 & -0.4286622 & 1.350392 \end{bmatrix}$$

$$|a_{32}| = 0.4286622 > \text{MINEPS} * (|a_{33}| + |a_{22}|) = 2.744996 * 10^{-8}$$

$$|a_{21}| = 0.0121556 > \text{MINEPS} * (|a_{22}| + |a_{11}|) = 2.350393 * 10^{-8}$$

L = 1 → a submatriz é formada pelas linhas e colunas de 1 a 3.

$$k_7 + k_8 = -0.044212$$

$$k_7 * k_8 = -2.06315925$$

4a. ITERAÇÃO:

$$p_7 = -0.9733203$$

$$q_7 = -0.02249788$$

$$r_7 = -0.004181801$$

PASSO DUPLO DO QR:

$$\sigma_7 = -0.9735893$$

$$u_7 = (1.999724; 0.02310818; 0.004295241)$$

$$v_7 = (1; 0.01155569; 0.002147917)$$

$$P_7 = I - u_7 v_7^t$$

$$A_7 = P_7 A_6 P_7 = \begin{bmatrix} -0.9953685 & 1.730615 & -0.0329813 \\ -1.354883 & -0.001124368 & -0.4204566 \\ -0.4212525 & -0.0001700617 & 1.350251 \end{bmatrix}$$

$$p_8 = -0.8686204$$

$$q_8 = -0.1313796$$

$$r_8 = 0$$

$$\sigma_8 = -0.8784998$$

$$u_8 = (1.988754; 0.14955; 0)$$

$$v_8 = (1; 0.07519783; 0)$$

$$P_s = I - u_s v_s^t$$

$$A_s = P_s A P_s = \begin{bmatrix} -0.9953685 & -1.706220 & -0.2914317 \\ 0.001137156 & -1.418844 & 0.001628423 \\ 0 & 0.002424318 & 1.414212 \end{bmatrix}$$

$$|a_{33}| = 0.002424318 > \text{MINEPS} * (|a_{33}| + |a_{22}|) = 2.833056 * 10^{-9}$$

$$|a_{21}| = 0.001137156 > \text{MINEPS} * (|a_{22}| + |a_{11}|) = 2.414212 * 10^{-8}$$

L = I - a submatriz é formada pelas linhas e colunas de 1 a 3.

$$k_3 + k_{13} = -0.004632$$

$$k_2 * k_{12} = -2.00655016$$

#### 5a. ITERAÇÃO:

$$p_3 = -0.9973243$$

$$q_3 = -0.002673017$$

$$r_3 = 3.2689366 * 10^{-5}$$

#### PASSO DUPLO DO QR:

$$c_3 = -0.9973279$$

$$u_3 = (1.999996; 0.002680179; -0.26966572 * 10^{-5})$$

$$v_3 = (1; 0.001340092; -0.1348288 * 10^{-5})$$

$$P_s = I - u_s v_s^t$$

$$A_s = P_s A P_s = \begin{bmatrix} -0.9999407 & 1.707342 & 0.2914327 \\ -1.414271 & -0.1441242 * 10^{-6} & 0.002409517 \\ 0.002419716 & 0.1232914 * 10^{-7} & 1.414211 \end{bmatrix}$$

$$p_{10} = -0.9991453$$

$$q_{10} = 0.8547211 \cdot 10^{-3}$$

$$r_{10} = 0$$

$$c_{10} = -0.9991456$$

$$u_{10} = (2; -0.855452 \cdot 10^{-3}; 0)$$

$$v_{10} = (1; -0.4277261 \cdot 10^{-3}; 0)$$

$$P_{10} = I - u_{10} v_{10}^t$$

$$A_{10} = P_{10} A P_{10} = \begin{bmatrix} -0.9999407 & -1.707093 & 0.2928932 \\ 0.1441243 \cdot 10^{-4} & -1.414273 & 0.1011696 \cdot 10^{-4} \\ 0 & -0.823347 \cdot 10^{-7} & 1.414214 \end{bmatrix}$$

$$|a_{32}| = 0.823347 \cdot 10^{-7} > \text{MINEPS} * (|a_{33}| + |a_{22}|) = 2.828487 \cdot 10^{-9}$$

$$|a_{21}| = 0.1441243 \cdot 10^{-4} > \text{MINEPS} * (|a_{22}| + |a_{11}|) = 2.414214 \cdot 10^{-9}$$

L = 1 → a submatriz  $\tilde{e}$  formada pelas linhas e colunas de 1 a 3.

6a. ITERAÇÃO:

$$p_{11} = -0.9999652$$

$$q_{11} = -0.3478264 \cdot 10^{-4}$$

$$r_{11} = 0.1186262 \cdot 10^{-11}$$

PASSO DUPLO DO QR:

$$c_{11} = -0.9999652$$

$$u_{11} = (2; 0.3478385 \cdot 10^{-4}; 0.1186303 \cdot 10^{-11})$$

$$v_{11} = (1; 0.1739193 \cdot 10^{-4}; 0.5931517 \cdot 10^{-12})$$

$$P_{11} = I = u_{11} v_{11}^t$$

$$A_{11} = P_{11} A_{10} P_{11} = \begin{bmatrix} -1 & 1.707107 & -0.2928932 \\ -0.2420165*10^{-6} & -1.414214 & -0.7099618*10^{-7} \\ -0.704189*10^{-15} & -0.8233271*10^{-7} & 1.414214 \end{bmatrix}$$

$$p_{12} = -1$$

$$q_{12} = -0.2909674$$

$$r_{12} = 0$$

$$c_{12} = -1$$

$$u_{12} = (2; 0.2909674*10^{-7} ; 0)$$

$$v_{12} = (1; 0.1454837*10^{-7} ; 0)$$

$$P_{12} = I - u_{12} v_{12}^t$$

$$A_{12} = P_{12} A_{11} P_{12} = \begin{bmatrix} -1 & -1.707107 & -0.2928932 \\ 0.2420165*10^{-6} & -1.414214 & -0.1130184*10^{-7} \\ 0 & 0.3469358*10^{-10} & 1.414214 \end{bmatrix}$$

$$|a_{32}| = 0.3469358*10^{-10} < \text{MINEPS} * (|a_{33}| + |a_{22}|) = 2.828427*10^{-8}$$

$$\lambda_1 = 1.414214$$

L = 2 → a submatriz  $\tilde{e}$  formada pelas linhas e colunas de 1 a 2.

$$|a_{21}| = 0.2420165*10^{-6} < \text{MINEPS} * (|a_{22}| + |a_{11}|) = 2.414214*10^{-6}$$

$$\lambda_2 = -1.414214$$

L = 1 → a submatriz  $\tilde{e}$  formada pela linha e coluna 1.

$$\lambda_3 = -1$$

CAPÍTULO 3

COMPARAÇÃO:

3.1. Experiência Computacional:

Os algoritmos foram programados em Fortran IV e, os testes foram feitos num computador PDP - 10.

As matrizes companheiras reais testadas, variam da ordem 3 a 10.

O tempo de execução do método proposto (DATTA) e do convencional QR com perturbação na matriz original, assim como o desvio médio dos autovalores, podem ser vistos na tabela 1, a seguir:

TABELA 1:

$C(N)$	MÉTODO	DESVIO MÉDIO	TEMPO DE EXECUÇÃO	CPU
(2; 2; -1)	DATTA	0	0	0.15
	QR(6)	0	0	0.19
(6; -11; 6)	DATTA	$10^{-6}$	0	0.12
	QR(5)	0	0	0.15
(0; 2; -1)	DATTA	$10^{-6}$	0	0.13
	QR(0)	0	0	0.13
(2; 1; -3)	DATTA	0	0	0.22
	QR(6)	0	0.1	0.25
(1.5; 4.75; 3.25; -1)	DATTA	$10^{-6}$	0.1	0.16
	QR(1)	$10^{-7}$	0.1	0.20
(-24; 50; -33; 10)	DATTA	$10^{-5}$	0	0.15
	QR(7)	$10^{-6}$	0	0.18
(-5.2625; -15.8; -7.125; 6.25; 2,5)	DATTA	$10^{-1}$	0	0.15
	QR(3)	$10^{-1}$	0.2	0.23
(-720; 1764; -1624; 735; -175; 21)	DATTA	$10^{-2}$	0.1	0.17
	QR(1)	$10^{-6}$	0.2	0.22
(-1.44x10 <sup>-5</sup> ; 3.6x10 <sup>-3</sup> ; 1.96x10 <sup>-2</sup> ; -4.9x10 <sup>-3</sup> ; -5.6x10 <sup>-4</sup> ; 0.14; 0.4)	DATTA	$10^{-6}$	0.1	0.22
	QR(1)	$10^{-7}$	0.2	0.36
(11.025x10 <sup>-5</sup> ; 0; -13.02625x10 <sup>-3</sup> ; 0; 21.0316x10 <sup>-2</sup> ; 0; -1.0374; 0; 184; 0)	DATTA	$10^{-4}$	0.2	0.32
	QR(3)	$10^{-7}$	0.3	0.54

QR(I), I = número de iterações.

### 3.2. Conclusão:

A expectativa inicial com o método proposto do Capítulo 1, era a de se obter um algoritmo estável para a determinação dos autovalores reais e distintos de uma matriz companheira real. Porém, verificou-se, com surpresa, que esse método converge tão rapidamente quanto o convencional QR.

Em ambos os casos, os autovalores computados são próximos àqueles da matriz original; além disso, são os autovalores exatos da matriz próxima à matriz original. De modo que, podemos considerar os dois métodos numericamente estáveis.

A utilização do método proposto, portanto, é recomendável.



C

CAPÍTULO 4:

C

APÊNDICE:

C

4.1. HANKEL:

C

SUBROTINA HANKEL

C

ESSA SUBROTINA CONSTRUI A MATRIZ DE HANKEL DAS SOMAS DE NEWTON.

C

N É UMA VARIÁVEL INTEIRA DE ENTRADA.

C

C É O VETOR REAL DE ORDEN N QUE CONTEM OS ELEMENTOS DA ÚLTIMA LINHA DA MATRIZ COMPANHEIRA.

C

H É A MATRIZ SIMÉTRICA REAL POSITIVA DEFINIDA DE ORDEN N, CONSTRUÍDA A PARTIR DAS SOMAS DE NEWTON.

C

APENAS O TRIÂNGULO SUPERIOR CHEIO DA MATRIZ É FORNECIDO.

C

S É O VETOR REAL DAS SOMAS DE NEWTON DE ORDEN 2N-2, CONSTRUÍDO A PARTIR DE FIBRACAS E CURSIVAS.

C

2N-2, CONSTRUÍDO A PARTIR DE FIBRACAS E CURSIVAS.

C

SUBROTINA HANKEL(F)

COMMON /BL1/A(100,100),B(100,100),C(100)

DIMENSION S(0/99)

C

CONSTRUÇÃO DAS SOMAS DE NEWTON

S(0)=N

S(1)=C(N)

DO 200 I=2,N

CS=0.

L=N+1

DO 100 K=I-1,1,-1

L=L-1

100

CS=CS+C(L)\*S(K)

S(I)=CS+I\*C(N-I+1)

200

CONTINUE

J=2\*N-2

DO 400 I=N+1,J

S(I)=0.

K=I

DO 300 L=N,1,-1

K=K-1

300

S(I)=S(I)+C(L)\*S(K)

400

CONTINUE

C

MONTAGEM DA MATRIZ DE HANKEL

DO 500 I=1,N

DO 500 J=I,N

500

B(I,J)=S(I+J-2)

RETURN

END

C 4.2. PRODUT;

C SUBROTINA PRODUT  
 C ESSA SUBROTINA CONSTRUI A MATRIZ SIMETRICA REAL A  
 C A PARTIR DO PRODUTO DA MATRIZ DE HARKEL B PELA  
 C TRANSPOSTA DA MATRIZ COMPANHEIRA REAL.  
 C N E UMA VARIAVEL INTERIA DE ENTRADA.  
 C R E A MATRIZ SIMETRICA REAL DE ORDEM N, APENAS O  
 C TRIANGULO SUPERIOR CHEIO DA MATRIZ E FORNECIDO.  
 C B E A MATRIZ SIMETRICA REAL POSITIVA DEFINIDA DE  
 C ORDEM N, APENAS O TRIANGULO SUPERIOR CHEIO DA MA-  
 C TRIZ PRECISA SER FORNECIDO.  
 C C E UM VETOR REAL DE DIMENSOES N QUE CONTEM OS ELEMENTOS  
 C DO OBJETO CADA DA MATRIZ COMPANHEIRA.

```

SUBROUTINE PRODUT(N)
  COMMON /BLIZ/ (I=1, N), C(100,100), C(100)
  C CONSTRUÇÃO DE A PARTIR DO PRODUTO DA MATRIZ
  C B PELA TRANSPOSTA DA MATRIZ COMPANHEIRA.
  DO 1 J=1, N
    DO 2 I=1, J-1
      A(I, J)=B(I, J)+B(J, I)
      AC=1.
      DO 3 K=1, I-1
        AC=AC+B(I, K)+B(K, I)
        A(I, J)=AC+AC
      CONTINUE
    CONTINUE
  END
  END
  
```

C 4.3. PLBIZ:

C SUBROTINA REDUZ  
C PARA SUBROTINA RESJZ O PROBLEMA SIMETRICO GENERALIZADO  
C DE AUTOVALORES  $AX=(LAMBDA)BX$ , ONDE B E POSITIVA DEFINI-  
C DA, PARA O PROBLEMA SIMETRICO PADRAO DE AUTOVALORES  
C  $BZ=(LAMBDA)Z$ , USANDO A FATORIZACAO DE CHOLESKY EM B.  
C N E A VARIAVEL INTEIRA DE ENTRADA.  
C A E A MATRIZ SIMETRICA REAL DE DIMEN N DO SISTEMA.  
C APRES O TRIANGULO SUPERIOR CHEIO DA MATRIZ PRECISA  
C SER FORMADO. NA SAIDA, O TRIANGULO INFERIOR CHEIO  
C DE A CONTEM O TRIANGULO INFERIOR CHEIO DA MATRIZ  
C SIMETRICA INVERTIDA DA REDUCA PARA A FORMA PADRAO.  
C O TRIANGULO SUPERIOR DE A TAMB E ALTERADO.  
C SE A MATRIZ SIMETRICA REAL POSITIVA DEFINIDA DE B  
C FOR NA SAIDA, APRES O TRIANGULO SUPERIOR CHEIO  
C DA MATRIZ PRECISA SER FORMADO. NA SAIDA, O TRI-  
C ANGULO INFERIOR DE A CONTEM O TRIANGULO INFERIOR DO  
C DE A POR CHOLESKY B. O TRIANGULO SUPERIOR CHEIO DE  
C B TAMB E ALTERADO.  
C SE A MATRIZ REAL DE DIMEN N DE A FOR NA SAIDA E  
C B FOR NA SAIDA, APRES O TRIANGULO SUPERIOR CHEIO DE  
C B E O TRIANGULO INFERIOR CHEIO DE A TAMB E ALTERADO.  
C SE B FOR POSITIVA DEFINIDA, NESSE CASO, A FATORIZACAO  
C DE CHOLESKY DE B TAMB EXISTE. SOBREMENT APRES  
C APRES B TAMB.

```
CALL DPL(1,N)
CALL DPL(1,N)/S(100,100),S(100,100),DPL(1,N)
CALL DPL(1,N)/S(100,100),S(100,100),DPL(1,N)
CONSTRUCAO DE B NO TRIANGULO INFERIOR DE B E NO VETOR
DPL PARA FATORIZACAO DE CHOLESKY.
DPL=0
DO 10 I=1,N
  II=I-1
  DO 10 J=I,N
    X=B(I,J)
    IF(1.20,1) GO TO 20
    DO 10 K=1,II
      1 X=X-B(I,K)*B(J,K)
      2 IF(J.NE,I) GO TO 30
      3 VERIFICA SE B E POSITIVA DEFINIDA
      IF(X.LE.0.) GO TO 130
      Y=SQRT(X)
      DPL(I)=Y
      GO TO 40
30 B(J,I)=X/Y
40 CONTINUE
C CONSTRUCAO DA TRANSPOSTA DE INV(LI)*A NO TRIANGULO
C INFERIOR CHEIO DE A.
DO 70 I=1,N
```

P.12311 - Interprint - 2500X1 - 11/73

```
Y1=I-1
Y=DFL(I)
DO 70 J=1,N
X=A(I,J)
IF(I.EQ.1) GO TO 50
DO 50 K=1,I1
5 X=X-B(I,K)*A(J,K)
6 A(J,I)=X/Y
7 CONTINUE
C
PPE-MULTIPLICACAO POR INV(L)
DO 120 J=1,N
J1=J-1
DO 120 I=J,N
X=A(I,J)
IF(I.EQ.J) GO TO 90
I1=I-1
DO 90 K=J,I1
8 X=X-A(I,J)*B(I,K)
9 IF(J.EQ.1) GO TO 110
DO 100 K=1,J1
10 X=X-B(J,K)*A(I,K)
11 A(I,J)=X/DFL(I)
12 CONTINUE
GO TO 130
C
INDICACAO DE QUANDO H HAQ E POSITIVA DEFINIDA.
130 WPD=1
140 RETORN
END
```

C 4.4. HOUSE:

C SUBROTINA HOUSE  
C ESSA SUBROTINA REDUZ UMA MATRIZ REAL E SIMETRICA A NUMA  
C MATRIZ TRIANGONAL SIMETRICA T USANDO AS TRANSFORMACOES  
C ORTOGONAIS SIMILARES DO METODO DE HOUSEHOLDER.  
C N E UMA VARIAVEL INTEIRA DE ENTRADA.  
C A E NA ENTRADA UMA MATRIZ REAL E SIMETRICA DE ORDEN N  
C QUE SERA REDUZIDA PARA A FORMA TRIANGONAL. APENAS O  
C TRIANGULO SUPERIOR DA MATRIZ PRECISA SER FORNECIDO.  
C AS DAIRES DO TRIANGULO SUPERIOR DE A CONTEM INFORMACOES  
C SOBRE AS TRANSFORMACOES ORTOGONAIS USADAS NA REDUcao.  
C O TRIANGULO SUPERIOR DA MATRIZ A FICA INALTERADO.  
C E E UM VETOR REAL DE DIMENSAO N QUE CONTEM OS ELEMENTOS  
C DA DIAGONAL PRINCIPAL DA MATRIZ TRIANGONAL T.  
C F E UM VETOR REAL DE DIMENSAO N QUE TEM AS DUAS  
C ULTIMAS N-1 POSICOES DE ELEMENTOS DA DIAGONAL DA  
C MATRIZ TRIANGONAL T. O ELEMENTO S(1) E S(2).  
C QD F O VETOR REAL DE DIMENSAO N QUE CONTEM OS SEUS  
C ELEMENTOS DE ELEMENTOS DE DIMENSAO N QUE TEM A  
C DIMENSAO N DA MATRIZ TRIANGONAL T. O ELEMENTO S(1)  
C E S(2) E O ELEMENTO S(1) E S(2).

```

SUBROUTINE HOUSE(N)
COMMON /BL1/A(100,100),S(100,100),SP(100)
COMMON /BL2/D(100),QSD(100),FSD
C GUARDA OS ELEMENTOS DA DIAGONAL PRINCIPAL DA MATRIZ
C A NO VETOR S.
DO 10 I=1,N
10 S(I)=A(I,I)
C COMECA A ITERACAO DE N-2 PASSOS
DO 100 I=N,1,-1
  Q=1+1
  H=0.
  SCALE=0.
  IF(C.LT.1) GO TO 30
  DO 20 K=1,L
20 SCALE=SCALE+ABS(A(I,K))
  IF(SCALE.EQ.0.) GO TO 40
30 S(I)=0.
  QSD(I)=0.
  GO TO 130
40 DO 50 K=1,L
  A(I,K)=A(I,K)/SCALE
  H=H+A(I,K)*A(I,K)
50 CONTINUE
C FORMACAO DO VETOR SIGMA
  QSD(I)=SCALE*SCALE*H
  F=A(I,L)
  G=-SIGN(SQRT(H),F)
  SD(I)=SCALE*G

```

P. 12011 - Interativo - 05/04/11 - 11/20

```
H=H-F*G
C  FORMACAO DO ELEMENTO DO VETOR U NA POSICAO (L,L-1)
A(I,L)=F-G
IF(C.LD.I) GO TO 111
F=0.
DO 90 J=1,L
G=0.
C  CONSTRUCAO DE A*U
DO 50 K=1,J
6  G=G+A(J,K)*A(I,K)
  JP1=J+1
  IF(C.LT.JP1) GO TO 50
DO 70 K=JP1,L
7  G=G+A(J,K)*A(I,K)
C  CONSTRUCAO DE P
3  P(J)=G/P
  F=F+A(J)*P(I,J)
4  C=P(I)*P(J)
C  CONSTRUCAO DE Q
  H=F/(C+1)
C  CONSTRUCAO DE Q
  Q(I)=P(I)*H
  Q(J)=P(J)*H
  Q(K)=0
  A(I,K)=A(I,K)+C*Q(K)-Q(K)*A(I,K)
1  Q(I)=0
1  Q(J)=1.
1  Q(K)=0
C  RECUPERAÇÃO DO ELEMENTO PRINCIPAL DA MATRIZ A ORIGINAL
1  H=0(I)
  D(I)=H(C,L)
  A(I,I)=1
1  CONTINUE
  K=J+1
  GO TO
```

```

C          4.5. QSPD:
C
C          SUBROTINA QSPD
C          PARA SUBROTINA DETERMINA OS AUTOVALORES DE UMA MATRIZ
C          TRIANGULAR SIMETRICA T, USANDO UMA VARIAÇÃO RACIONAL DO
C          MODO DE VIBRAÇÃO.
C          N É UMA VARIÁVEL INTEIRA DE ENTRADA.
C          D É UM VETOR REAL DE DIMENSÃO N QUE NA ENTRADA CONTÉM
C          OS ELEMENTOS DA DIAGONAL PRINCIPAL DA MATRIZ TRIANGULAR T.
C          NA SAÍDA, ELE CONTÉM OS AUTOVALORES DESTA MATRIZ EM
C          ORDEM CRESCENTE.
C          QSPD É UM VETOR REAL DE DIMENSÃO N QUE CONTÉM NAS SUAS
C          ÚLTIMAS N-1 POSIÇÕES O QUADRADO DOS ELEMENTOS DA
C          SUBDIAGONAL DA MATRIZ TRIANGULAR T. O ELEMENTO QSPD(N) É
C          ARBITRÁRIO. DEVE SER DA MESMA ORDEM DE GRANDEZA COM OS
C          VALORES DA DIAGONAL DE SAÍDA. SE SAIS DE SEU VALOR
C          QUALQUER OUTRO VALOR SERIA PARA A DETERMINAÇÃO DOS
C          AUTOVALORES, SEU VALOR DEVE SER UM VALOR QUE INDICA
C          O INÍCIO DO AUTOVALOR PARA O QUAL A FUNÇÃO QSPD(1) É
C          O MÍNIMO DOS AUTOVALORES QUE O T-POSSUI. SE O VALOR
C          FOR NEGATIVO, SEU VALOR DEVE SER IGUAL A ZERO.
C          O VALOR DEVE SER DETERMINADO DEPENDENTE DO COMPUTADOR
C          DESEMPREGADO: PARA O SBC-1, MINERS É O TEMPO EPO000
C          DO VALOR (1+QSPD(N)) PARA O POP-10, O VALOR DE
C          QSPD(N) DIVIDIDO POR N-1.
C
C          QSPD(1)=QSPD(N)
C          QSPD(N)=ZERO(100), QSD(100), ITEMP
C          QSD=1.0E6
C          ITEMP=1
C          CONTINUA NO VETOR QSD. O ÚLTIMO ELEMENTO PASSA A SER
C          IGUAL A ZERO.
C          DO 10 I=2, N
1      QSD(I-1)=QSD(I)
      B=0.
      C=0.
      QSD(I)=1.
C          I INDICA O AUTOVALOR QUE ESTÁ SENDO DETERMINADO.
      DO 120 M=1, I
      J=0
      H=MINERS*(ABS(D(I))+SQRT(QSD(M)))
      IF(B.GT.H) GO TO 20
      B=H
      C=B*H
C          PROCURA UM ELEMENTO DO QUADRADO DA SUBDIAGONAL QUE SEJA
C          PEQUENO.
C          DO 30 M=L, N
20      IF(QSD(M).LE.C) GO TO 40
C          CONTINUE
30

```

3/11/78 10:00 AM

```
4. IF(I.EQ.L) GO TO 50
5. IF(J.EQ.30) GO TO 110
   J=J+1
C   FORMACAO DA PERTURBACAO K
   L=L+1
   S=57*(I-1)/(J)
   G=D(L)
   P=(D(L)-G)/(2.*S)
   R=SQRT(P*P+1.)
   B(L)=G/(P+SIGN(R,P))
   H=G-D(L)
C   MODIFICACAO DOS ELEMENTOS DA DIAGONAL.
   DO 90 I=L,2,-1
   G(I)=B(I)*H
C   O ELEMENTO DA DIAGONAL PERTURBACAO K QUE FEA FORMALIZAR OS
C   ELEMENTOS DA FICHA DE AUTOVALORES.
   Z=H*H
C   CALCULO DO ELEMENTO DA DIAGONAL PERTURBACAO
   G(I)=G(I)
C   PARA EVITAR DIVERGENCIA INDEFINIDA, QUANDO G E IGUAL A
C   ZERO SUBSTITUI-LO POR UM VALOR EQUIVALENTE A 1000
C   (O VALOR REAL DE G E INDEFINIDO POR RAIZ).
   IF(G(I).EQ.0) G(I)=1000
   G(I)=G(I)+Z
   G(I)=G(I)+Z
   G(I)=G(I)+Z
   G(I)=G(I)+Z
   G(I)=G(I)+Z
   G(I)=G(I)+Z
   G(I)=G(I)+Z
   G(I)=G(I)+Z
   G(I)=G(I)+Z
   G(I)=G(I)+Z
C   NOVAMENTE SE G E IGUAL A ZERO, SUBSTITUIMO-LO PELO DELTA
   IF(G(I).EQ.0) G(I)=1000
   G(I)=G(I)+Z
7. CONTINUE
   G(I)=G(I)+Z
   H(I)=H
C   PROTECCAO CONTRA DIVISAO POR ZERO NO TESTE DE CON-
C   VERGENCIA.
   IF(G(I).EQ.0) GO TO 20 60
   IF(ABS(G(I)).LE.ABS(C/H)) GO TO 80
   G(I)=H*G(I)
   IF(ABS(L).GE.1.) GO TO 50
C   REGULAZICAO DOS RESULTADOS
8. P=D(L)+P
C   ORGANIZACAO DOS AUTOVALORES EM ORDEM CRESCENTE
   IF(L.EQ.1) GO TO 100
   DO 90 I=L,2,-1
   IF(P.GE.D(I-1)) GO TO 110
   D(I)=D(I-1)
9. CONTINUE
```

F-1283 - Interpolar - SOMA - 11/79



```
100 I=1
110 O(I)=P
120 CONTINUE
    GO TO 110
C     INDICACAO DE QUANTO VAZ DA CONVERGENCIA PARA ALGUM
C     APROXIMADOR
130 IFFR=L
140 RETURN
    END
```

Publicado em: 1970

```

C      4.0. DELTA:
C
C      METODO JATTE
C      ESSL. METODO COMPUTA OS AUTOVALORES DE UMA MATRIZ
C      REAL COMPANHEIRA C.
C      NA SUBROTINA HARKEL, ATRAVES DE RELACOES RECUR-
C      SIVAS CONSTRUIMOS A MATRIZ SIMETRICA POSITIVA DE-
C      FINIDA D, E NA SUBROTINA PRODUT OBTENEMOS A MATRIZ
C      SIMETRICA A=B*TRANSPOSTA(C), O QUE POSSIBILITA
C      REDUZIR O PROBLEMA SIMETRICO GENERALIZADO DE AU-
C      TOVALORES  $AX=(\lambda I)X$ , PARA O PROBLEMA SIMETRI-
C      CO PADRAO  $A'X=(\lambda I)X$ , ATRAVES DA SUBROTINA REDUZ.
C      PELAS TRANSFORMACOES OBTIDAS OS VALORES DO MS-
C      TRO DE AUTOVALORES CONJUGADOS A MATRIZ SIMETRICA B
C      NA MATRIZ SIMETRICA ORIGINAL T DA SUBROTINA
C      REDUZ.
C      O PROBLEMA DE SIMETRIA ORIGINAL, OBTIDOS OS AUTO-
C      VALORES DO TUDO, DADOS OS VALORES DA MATRIZ C, ATRAVES
C      DA FUNCAO VARIACAO FACIL DO TUDO.
C
C      C=DELTA//1//('I',I=1,4),DELTA//1//('I',I=1,4)
C      C=DELTA//2//('I',I=1,4),DELTA//1//('I',I=1,4)
C      B=DELTA//1//('I',I=1,4)
1 0     FORMAT(I)
C      B=DELTA//2//('I',I=1,4),DELTA//1//('I',I=1,4)
2 0     FORMAT(1000)
C      WRITE(3,1000)
3 0     FORMAT(/3X,'VALOR DA MATRIZ DELTA')
C      WRITE(3,1000)
4 0     FORMAT(/3X,'ORDEM DA MATRIZ COMPANHEIRA C=',I)
C      WRITE(3,5000)
5 0     FORMAT(/3X,'Linha I da MATRIZ C',/)
C      WRITE(3,2000)(C(I),I=1,4)
C      CALL HARKEL(C)
C      CALL PRODUT(C)
C      CALL REDUZ(C)
C      IF(IND.20.0) GO TO 7000
C      WRITE(3,8000)
6.000  FORMAT(/3X,'A MATRIZ D NAO E POSITIVA DEFINIDA',/)
C      GO TO 11000
7 0     CALL HARKEL(C)
C      CALL PRODUT(C)
C      IF(IND.20.0) GO TO 9000
C      WRITE(3,8000)IND
8.000  FORMAT(/3X,'AUTOVALOR QUE NAO CONVERGE=',I,/)
C      GO TO 11000
9000   WRITE(3,10000)
10000  FORMAT(/3X,'AUTOVALORES DA MATRIZ C',/)
C      WRITE(3,2000)(D(I),I=1,4)
11000  STOP
C      END

```

P.1253 Interp. 30021 11/78



```
      F=1
      I=K+1
      GO TO 20
120    CONTINUE
      GO TO 140
C      RESOLUÇÃO DE COLUNAS: ESCOLA UM AUTOVALOR E MUDA PARA
C      A COLUNA SEGUINTE, A ESQUERDA.
140    F=F+1
150    DO 170 J=K,B
        DO 150 I=1,N
          IF(C(I,J).EQ.0) GO TO 150
          IF(C(I,I).NE.0) GO TO 170
160    CONTINUE
        I=K
        I=I+1
        GO TO 140
170    CONTINUE
C      CÁLCULO DA MATRIZ SIMÉTRICA FORMADA PELAS DIFERENÇAS A E
        DO 180 I=1,N
          DO 180 J=1,N
            B(I,J)=1.
C      CÁLCULO DA MATRIZ PARA O REDUÇÃO DA FORMA
            DO 190 I=1,N
              DO 190 J=1,N
                C(I,J)=A(I,J)-F
            I=I+1
          I=I+1
          DO 200 I=1,N
            IF(C(I,I).EQ.0) GO TO 200
            B(I,I)=1./C(I,I)
            C(I,I)=1.
            DO 210 J=1,N
              IF(C(I,J).EQ.0) GO TO 210
              B(I,J)=1./C(I,J)
              C(I,J)=C(I,J)/C(I,I)
            J=J+1
          J=J+1
            C(I,I)=C(I,I)+C(I,I)*C(I,I)
            IF((C(I,I)+P)/F.GE.0.95*B) GO TO 270
            G=1./F
            SCALE(I)=SCALE(I)*F
            NDCONV=.TRUE.
            DO 250 J=K,B
              A(I,J)=A(I,J)*G
            J=J+1
            DO 260 J=1,L
```

Page 1 of 1

```
210      A(J,I)=A(J,I)+1
220      CONTINUE
230      IF (NOCONV) GO TO 190
240      ICH=I
      ICH=I
      K=I+1
      END
```

```
C      A.H. HRZ:
C
C      SUBROTINA HRZ
C      ESSA SUBROTINA DETERMINA OS AUTOVALORES DE UMA
C      MATRIZ DE HESSEBERG SUPERIOR REAL H, USANDO O
C      METODO QR.
C      N E UMA VARIAVEL INTEIRA DE ENTRADA.
C      LOW E IGH SAO VARIAVEIS INTEIRAS DE ENTRADA QUE
C      INDICAM OS INDICES DO LIMITE DA MATRIZ BALANCEA-
C      DA. SE A MATRIZ SAO O BALANCEADA, LOW=1 E IGH=N.
C      H E A MATRIZ DE HESSEBERG SUPERIOR
C      DE TAMAHO N. O ALGORITMO QR DESMONTA A MATRIZ H.
C      EM DUAS PARTES NA VETOR DE DIFERENCA D, CONTEUDO
C      DE AUTOVALORES REAIS DA MATRIZ DE HESSEBERG
C      SUPERIOR. OS AUTOVALORES SAO SAO DE TIPO REAL.
C      LOW E IGH SAO VARIAVEL INTEIRAS DE SAIDA. SE MAIS
C      DE UM INDICHO SAO NUMEROS REAIS A DETERMINA-
C      CION DO AUTOVALOR, HA TERCEIRA COLUNA QUE
C      INDICA O INDICE DO AUTOVALOR PARA O QUAL A FAZDA
C      COLUNA DA D E O AUTOVALOR. OS OUTROS INDICHO
C      DA D SAO O ZERO.
C      O VALOR DE ITERS E O DEGRAU DE COMPUTACAO,
C      QUE REPRESENTA A POSICAO NEGATIVA DO PRIMO PRO-
C      PRIETARIO. DE SAIDA, ITERS E O PRIMO
C      PROPRIO, MAS NAO I+DPS(I)>1. PARA O POP=10
C      O VALOR DE ITERS E IGUAL A 2.**-20.
C
C      FUNCOE DE INDICHO A SEGUIR ESTAO I E J
C      FUNC=10*(I+J)
C      *I=1
C      I=(J.LT.1) I=0
C      RETURN
C      END
C      SUBROTINA HRN(N)
C      COMMON /HRN/HR(10,10),HRN,IGH
C      COMMON /HRZ/HR(100),ITHR,ICDA
C      REAL ITERS,HRN
C      INTEGER N,HRN
C      LOGICAL NOTDAS
C      DIMENSION ITERS(2.**-20)
C      ITERS=0
C      NOTDAS=.
C      K=1
C
C      QUANDO AS RAIZES ISOLADAS PRLO BALANCEAMENTO
C      E COMPUTA A NORMA DA MATRIZ
C      DO 50 I=1,N
C      DO 40 J=K,N
C      4  NORM=NORM+ABS(H(I,J))
C      K=I
C      IF(I.GE.LOW.AND.I.LE.IGH) GO TO 50
C      WR(I)=H(I,I)
```

```
5. CONTINUE
   EN=IGN
   T=0.
C PESQUISA DOS PRÓXIMOS AUTOVALORES
6 IF(LN.LE.LOW) GO TO 1001
   IIS=0
   NA=EN-1
   ENM2=NA-1
C PROCURA UM ELEMENTO PEQUENO DA SUBDIAGONAL.
7 DO 80 DL=LOW,EN
   L=EN+LOW-DL
   IF(L.EQ.LOW) GO TO 100
   S=ABS(H(L-1,L-1))+ABS(H(L,L))
   IF(L.EQ.0.) S=1000
   IF(ABS(H(L,L-1)).LE.MINEPS*S) GO TO 100
8 CONTINUE
C FORMAÇÃO DA MATRIZ INVERSA
100 A=B(M,EN)
   IF(L.EQ.EN) GO TO 270
   Y=1/(A,A)
   X=B(M,NA)*B(L,EN)
   IF(L.EQ.0.) X=1000
   IF(IIS.EQ.10) GO TO 1001
   IF(IIS.EQ.10) GO TO 130
C FORMAÇÃO DA MATRIZ DA EXCEPCIONAL
   J=1+X
   DO 120 I=LOW,EN
120 H(I,I)=H(I,I)-X
   S=ABS(H(M,NA))+ABS(H(M,EN))
   X=0.75*S
   Y=X
   X=-0.1375*X*S
130 IIS=IIS+1
C PROCURA DOS DEZ PRÓXIMOS ELEMENTOS CONSECUTIVOS DA SUBDIAGONAL
C DO 140 MP=L,EN
   M=ENM2+L-0.5
   ZZ=1/(M,M)
   R=X-ZZ
   S=Y-ZZ
   P=(X*S-R)/H(M+1,M)+H(M,M+1)
   Q=H(M+1,M+1)-ZZ-R-S
   R=H(M+2,M+1)
   S=ABS(P)+ABS(Q)+ABS(R)
   P=P/S
   Q=Q/S
   R=R/S
   IF(M.EQ.L) GO TO 150
   IF(ABS(H(M,M-1))*(ABS(Q)+ABS(R)).LE.MINEPS*ABS(P)*
X(ABS(H(M-1,M-1))+ABS(ZZ)+ABS(H(M+1,M+1))))GO TO 150
140 CONTINUE
150 MP2=M+2
   DO 160 I=MP2,EN
```

P.12611 - Interprint - 5080X

```
H(I,I-2)=0.  
IF(I.EQ.MP2) GO TO 150  
H(I,I-3)=0.  
100 CONTINUE  
C PASSO 01 DO MP20 ENVOLVENDO AS LINHAS L A  
C EM UM CILINDRO DE RAIO R  
DO 100 K=1,GR  
NOTLAS=K,GR,GR  
IF(K.EQ.M) GO TO 170  
P=H(K,K-1)  
Q=H(K+1,K-1)  
R=0.  
IF(NOTLAS) R=H(K+2,K-1)  
X=R*(P)+Q*(1)+ABS(R)  
IF(I.EQ.M) GO TO 200  
P=P/X  
Q=Q/X  
R=R/X  
110 S=SIGN(Q,INT(P+Q*(1+ABS(R)),P))  
IF(I.EQ.M) GO TO 150  
H(K,K+1)=-ABS(X)  
G=1-ABS(X)  
120 H(K,K+2)=-H(K,K-1)  
130 P=P+G  
X=P/X  
Y=Q/X  
Z=Q/X  
J=Q/P  
K=K/J  
C MODIFICACAO DA COLUNA  
DO 210 I=1,GR  
P=H(K,I)+J*H(K+1,I)  
IF(.NOT.NOTLAS) GO TO 200  
P=P+G*H(K+2,I)  
H(K+2,I)=H(K+2,I)-P+Z  
200 H(K+1,I)=H(K+1,I)-P+Y  
H(K,I)=H(K,I)-P+X  
210 CONTINUE  
J=MINI(50,K+3)  
C MODIFICACAO DA COLUNA  
DO 230 I=1,J  
P=X*H(I,K)+Y*H(I,K+1)  
IF(.NOT.NOTLAS) GO TO 220  
P=P+Z*H(I,K+2)  
H(I,K+2)=H(I,K+2)-P*R  
220 H(I,K+1)=H(I,K+1)-P*Q  
H(I,K)=H(I,K)-P  
230 CONTINUE  
260 CONTINUE  
GO TO 70  
C  
270 UMA RAIZ E ACHADA  
WR(EN)=X+T
```



```
      ER=RA
      GO TO 60
C      DUAS RAIZES SAO ACHADAS
280    P=(Y-X)/2.
      Q=P*P+W
      ZZ=SQRT(ABS(Q))
      X=X+T
      IF(Q.LT.0.) GO TO 320
C      PAR REAL
      ZZ=P+SIGN(ZZ,P)
      RR(RA)=X+ZZ
      RR(RB)=RR(RA)
      IF(ZZ.EQ.0.) RR(RB)=X-W/ZZ
      GO TO 330
320    IERR=1
330    ER=1.0E2
      GO TO 60
C      IMPROBILIDADE DE OBTENÇÃO DE CONVERGÊNCIA
C      POR ALGORITMO AUTOMÁTICO
100    IERR=0
110    RETORNO
      END
```

C 4.4. WR:

C II METODO QR  
C ESSE METODO COMPUTA OS AUTOVALORES REAIS DA TRANS-  
C POSTA DA MATRIZ COMPANHEIRA REAL C.  
C PRIMEIRAMENTE, E FEITA A MONTAGEM DA TRANSPONSTA  
C DA MATRIZ C, , ONDE A ULTIMA LINHA E FORNECIDA  
C COMO DADO DE ENTRADA.  
C NA SUBROTINA BALANC, A MATRIZ E BALANCEADA, DE MODO  
C QUE AS SOMAS DAS LINHAS E COLUNAS COM SEUS SINAIS  
C SAO IGMALADAS. PODE OCORRER DE ALGUM AUTOVALOR SER  
C IGUALADO.  
C NA SUBROTINA HOR, OS AUTOVALORES REAIS SAO FINAL-  
C MENTE COMPUTADOS.

```
C 1000 7001/4(100,100),001,100  
C 1001 7002/4(100),1001,1001  
C 1002 DIMENSION C(100)  
C 1003 401(3,50)  
C 1004 402(3,100)  
C 1005 403(1)  
C 1006 READ(20,300)(C(I),I=1,N)  
C 1007 FORMAT(1000)  
C 1008 401(3,400)  
C 1009 402(3,500)('ORDEM DA MATRIZ COMPANHEIRA C=',1)  
C 1010 403(3,300)('ULTIMA LINHA DA MATRIZ COMPANHEIRA C',//)  
C 1011 404(3,300)(C(I),I=1,N)  
C 1012 COMPUTACAO DA TRANSPONSTA DA MATRIZ C  
C 1013 DO 550 I=1,N  
C 1014 DO 560 J=1,N-1  
C 1015 IF(J.EQ.1-1) GO TO 600  
C 1016 A(I,J)=1.  
C 1017 GO TO 650  
C 1018 A(J,I)=1.  
C 1019 CONTINUE  
C 1020 A(I,N)=C(I)  
C 1021 CALL BALANC(N)  
C 1022 CALL HOR(0)  
C 1023 IF(ITER.NE.0) GO TO 1300  
C 1024 WRITE(3,1100)  
C 1100 FORMAT(//5X,'AUTOVALORES REAIS',//)  
C 1025 WRITE(3,300)(WR(I),I=1,N)  
C 1026 IF(ICOM.NE.0) WRITE(3,1200)  
C 1027 GO TO 1500  
C 1200 FORMAT(//3X,'EXISTE AUTOVALOR COMPLEXO')  
C 1028 GO TO 1500  
C 1300 WRITE(3,1400)ITER  
C 1400 FORMAT(//5X,'AUTOVALOR QUE NAO CONVERGE=',I,//)  
C 1500 STOP  
C 1501 END
```

REFERÊNCIAS:

- [ 1 ] DATTA, B. N. - "Application of Hankel Matrix to the root-location problem", IEEE - Trans. on Auto. Control., Agosto/1976, p. 610-612.
- [ 2 ] DATTA, B. N. - "Application of Hankel matrices of Markov parameters to the solution of the Routh-Hurwitz and the Schur-Cohn problems", J. Math. Anal. Appl., v. 68, nº 1, 1979, p. 276-290.
- [ 3 ] WILKINSON, J. H. - "The Algebraic Eigenvalue Problem", Clarendon Press, Oxford, 1965.
- [ 4 ] WILKINSON, J. H. and REINSCH, C. - "Handbook for Automatic Computation, Volume II, Linear Algebra", Springer - Verlag, New York - Heidelberg - Berlin, 1971.
- [ 5 ] SMITH, B. T. and others - "Matrix Eigensystem Routines, Eispack Guide", Lectures Notes in Computer Science, V. 6, Springer-Verlag, 1976.
- [ 6 ] GARBOW, B. S. and others - "Matrix Eigensystem Routines, Eispack Guide Extension", Lect. Notes in Comp. Science, V 51, Springer-Verlag, 1977.
- [ 7 ] BLUM, K. - "Numerical Analysis and Computation, Theory and Practice", Addison-Wesley, Reading, Mass., 1972, p. 230-264.

- [ 8 ] KRISHNAMURTHY, E. V. and SEN, S. K. - "Computer Based Numerical Algorithms", EWP (Affiliated East-West Press PVT Ltd.), New Delhi-Madras, 1976 - p. 248 - 249.
- [ 9 ] GRAD, J. and BREBNER, M. A. - "Eigenvalues and Eigenvectors of a Real General Matrix", Comm. of the ACM , Vol. 11, nº 12, 1968, p. 820-825.
- [ 10 ] BARROS, I. Q. - "Métodos Numéricos, I, Álgebra Linear", Brasil, Março/70, p. 46-52, 122-135, 143-158.
- [ 11 ] GREGORY and KARNEY - "A Collection of Matrices for testing computational algorithms", Wiley, New York, 1969, p. 55-113, 134-142.
- [ 12 ] DATTA, B. N. - Notas de aula do curso de Análise Numérica I, UNICAMP, Março/77.
- [ 13 ] TAUSSKY, O. and ZASSENHAUS, H. - "On the similarity transformation between a matrix and its transpose", Pacific J. Math., vol. 9, 1959, p. 893-896.
- [ 14 ] BARNET, S. - "Matrices in Control Theory", Van Nostrand-Reinhold, London, 1971, p. 39.
- [ 15 ] REINSCH, C. H. - "A stable, rational QR algorithm for the computation of the eigenvalues of an Hermitian, Tridiagonal matrix", Math. of Comput., v. 25, nº 115, 1971, p. 591-597.

- [ 16 ] DORN, W. S. e MC CRACKEN, D. - "Cálculo Numérico com estudos de casos em fortran IV", ED. Campus (USP), Rio de Janeiro, 1978, p. 95-138.
- [ 17 ] GANTMACHER, F. R. - "The Theory of Matrices", v. 2 , Chelsea Publ. Company, New York, 1971, p. 214.
- [ 18 ] PARLETT, B. N. - "Global Convergence of the basic QR algorithm on Hessenberg Matrices", Math. Comp. 22, 1968, p. 803-817.
- [ 19 ] WILKINSON, J. H. - "Convergence of the LR, QR and related algorithms", Comput. J., v. 8, 1965, p. 77-84.